



# جامعة محمد خضراء - بسكرة



كلية العلوم والتكنولوجيا  
قسم الهندسة الميكانيكية

## مذكرة الماستر

الميدان: علوم وتكنولوجيا  
الشعبة: هندسة ميكانيكية  
التخصص: إنشاء ميكانيكي

المرجع: .....

مقدمة من طرف:  
اعمر السعيد

في: الاثنين 08 جويلية 2019

## التحكم النشط في عارضة متتجانسة

**Active Control of isotropic Beam**

---

### لجنة المناقشة:

رئيسا	جامعة بسكرة	استاذ محاضر ب	ا. مسعود بن مشيش
مؤطرًا	جامعة بسكرة	استاذ	ا. محمد النذير عمران
متحننا	جامعة بسكرة	استاذ محاضر ب	ا. ابراهيم نين

# الأهـداء

إلى أبي وأمي حفظهما الله ورضي عنهم وأرضاهم.

إلى كل الإخوة والأصدقاء.

وإلى كل من يعتز بلغة أهل الجنة.

# الشكرا

الحمد لله الذي هداني ووفقني لإنجاز هذه المذكرة

وبعد أود أن أقدم شكري الخالص أولاً إلى الأستاذ **محمد النذير عمران** الذي وجهني في عملي هذا،

وأيضاً إلى كل من الأساتذتين **ابراهيم نين** و **مسعود بن مشيش** على كل معلومة أخذتها عنها في السنوات الماضية للدراسة

وعلى قبول مناقشة مذكرة تخرجي،

وأشكر جزيل الشكر للأستاذ **محمد لطوش** الذي ساعدني كثيراً على البرمجة.

## الملخص

إن التحكم في الإهتزازات له أهمية كبيرة في مجال الهندسة عموماً وفي الهندسة الميكانيكية خاصة. وفي هذه المذكرة نقدم بين أيديكم دراسة حول المراقبة أو التحكم النشط للإهتزازات الهيكلية و ذلك باستخدام واحدة من المواد الذكية ألا وهي المواد الكهروإجهادية و تسمى كذلك الكهروضغطية.

تم استعمال طريقة العناصر المتماثلة (finite element method) في الدراسة التحليلية واجريت المحاكاة بواسطة برنامج ANSYS، كما تمت برمجة التحكم النشط باستعمال برنامج MATLAB حيث تم استخدام المعدل التربيعي الخطوي (LQR).

**الكلمات المفتاحية:** المواد الذكية، الكهروضغطية، التحكم النشط، طريقة العناصر المتماثلة، المتحكم الخطوي التربيعي .(LQR)

## الفهرس

1.....	الإهداء.....
2.....	الشكر.....
3.....	الملخص.....
4.....	الفهرس.....
5.....	قائمة الأشكال.....
6.....	قائمة الجداول.....
7.....	مقدمة عامة.....
 8.....	I. عموميات حول طرق ووسائل احمد الاهتزازات.....
9 .....	1. تمييز .....
10 .....	2. مواد ذكية جديدة.....
11.....	1-2 السبائك أو الخليطة المتنكرة للشكل.....
13.....	2- مواد التقبض الكهربائي.....
13.....	2- مواد التقبض المغناطيسية.....
13.....	3. المراقبة النشطة باستخدام عناصر كهرواجهادية.....
14.....	4. إستراتيجيات المراقبة.....
15.....	5. خوارزمية المراقبة النشطة.....
15.....	6. قانون المراقبة.....
15.....	7. المراقبة المنوالية.....
 16.....	II. صيغ ومعادلات الكهرواجهادية وطريقة العناصر المتناهية.....
17.....	1. ظاهرة الكهرباء الإنضغاطية.....
18.....	2. معادلات الكهروضغطية.....
18.....	3. أوضاع إقتران السيراميك الكهروضغطی.....
20.....	4. تحويل الطاقة تحت تأثير الكهروضغطية.....
21.....	5. الدراسة بطريقة العناصر المتناهية.....
22.....	5-1. الطاقة الكامنة و مصفوفة الصلابة.....
23.....	5-2. مصفوفة الصلابة في حالة حركة إنعطاف لجائز.....
24.....	5-3. الطاقة الحركية و مصفوفة الكتلة لعنصر.....
25.....	6. طريقة العناصر المتناهية في الحالة الديناميكية.....
25.....	7. استخدام طريقة المناول.....
26.....	8. التحكم النشط .....
 27.....	III. نمذجة العارضة الذكية باستعمال طريقة العناصر المتناهية بواسطة برنامج ANSYS.....
28.....	1. نمذجة عارضة الأساس.....
30.....	2. نمذجة العارضة الذكية.....
36.....	3. تفعيل المنظم الخطى التربيعى(LQR) الموجود فى برنامج MATLAB.....
 39.....	خلاصة.....
40.....	قائمة المراجع.....

## قائمة الأشكال

9	الشكل (1) آلية الإخماد بواسطة طليعة الإجهاد الخامل -
10	الشكل (2) تعريف لبنية ذكية -
11	الشكل (3) المبادلات بين الانظمة -
12	الشكل (4) مضرب HEAD باستخدام الألياف كهرضغطية التي تسيطر عليها المعالج الدقيق -
13	الشكل (5) المراقبة بواسطة التغذية الأمامية -
14	الشكل (6) المراقبة بواسطة التغذية الرجعية -
17	الشكل (7) نزوح شحنات موجبة ( $Q^+$ ) بالنسبة لأخرى سالبة ( $Q^-$ ) في المادة -
19	الشكل (8) ترقيم المحاور -
20	الشكل (9) أوضاع إقتران السيراميك الكهروضغطى -
21	الشكل (10) الدورة النظرية لتحويل الطاقة في حالة مشغل كهرضغطى -
23	الشكل (11) عارضة مثبتة-حرة(حالة إنعطاف) -
29	الشكل (12) عارضة الأساس (مثبتة-حرة) -
30	الشكل (13) أنماط العارضة عند الترددات الطبيعية الثلاث -
30	الشكل (14) عارضة مثبت عليها الرقاقات -
31	الشكل (15) الشكل الهندسي ١ SOLID5
32	الشكل (16) تمثيل الشروط الحدية -
33	الشكل (17) تنشيط الفعل الكهروميكانيكي -
35	الشكل (18) مناول الاهتزاز الحر للعارضه الذكية -
38	الشكل (19) إستجابة العارضة الذكية في الحالتين النشطة والخاملة -

## قائمة الجداول

18	الجدول (1) معادلات الكهرواجهادية
28	الجدول (2) الخصائص الميكانيكية
28	الجدول (3) قيم ثلث ترددات خاصة (حالة إنعطاف)
35	الجدول (4) مقارنة قيم ترددات العارضة الأساسية والعارضة الذكية

# مقدمة عامة

الإهتزازات أو الضوضاء مصدر للعديد من المشاكل في مختلف المجالات و خاصة الصناعية والدفاعية منها، ولهذا السبب و ضعفت الكثير من الدراسات للتحكم من أجل ايجاد حلول مناسبة لتخفيضها ، وفي دراستنا هذه نتناول واحدة من أهم طرق التحكم ألا وهي طريقة التحكم النشط في الإهتزازات.

قد تم تنظيم هذه المذكورة في ثلاثة فصول، الفصل الأول عبارة عن مقدمة عامة حول طرق إخماد الإهتزازات وخاصة النشطة منها، والوسائل المستعملة في ذلك، والفصل الثاني يحتوي على جزء صيغ ومعادلات الكهروإجهادية وطريقة العناصر المتناهية.

أما الفصل الأخير فتم فيه استخدام برنامج ANSYS لإيجاد قيم الترددات الخاصة لعارضة متGANستة isotropic ( قبل وبعد وضع رقاقات كهروإجهادية، و برنامج MATLAB لتوظيف المنظم الخطى التربيعي LQR .

## الفصل الاول

# عموميات حول طرق و وسائل إخماد الاهتزازات

## ١. تمهيد

في كثير من الحالات تمثل الإهتزازات الهيكليية مصدر إزعاج لأنها يمكن أن تسبب عدة مشاكل كالتعب الهيكلي مثلا ، أو نقل الاهتزازات إلى أنظمة أخرى ، والضوضاء الداخلية أو الخارجية بسبب الموجات الصوتية، الخ. ومع ذلك من الممكن تقليل تأثيرها، حيث هناك ثلاثة أنواع من تقنيات:

- التقنية الأولى: هي تقنية الإلغاء (أو المسح) ، والتي تستخدم بشكل أساسى للقضاء على الضوضاء الناتجة عن الاهتزاز وليس الاهتزاز نفسه ، ويتم ذلك عن طريق إنتاج مصدر للضوضاء الثانوية تتبع منها ضوضاء عكسية للأولية بحيث يؤدي إلى إلغاء كليهما.

- التقنية الثانية: هي العزل التي تجنب إنتقال الاهتزازات من منظومة إلى أخرى دون القضاء على الإهتزازات.

- التقنية الثالثة: والتي تسمى التوهين أو الإخماد، فهي تقوم بتنقليل سعة الاهتزازات الهيكليية التي تقع تردداتها بالقرب من الترددات الخاصة للهيكل. وبالتالي فإن هذه التقنيات تجعل من الممكن تخفيف أو حتى إزالة أصوات الهيكل. وبشكل عام تصنف على أنها خاملة أو نشطة:

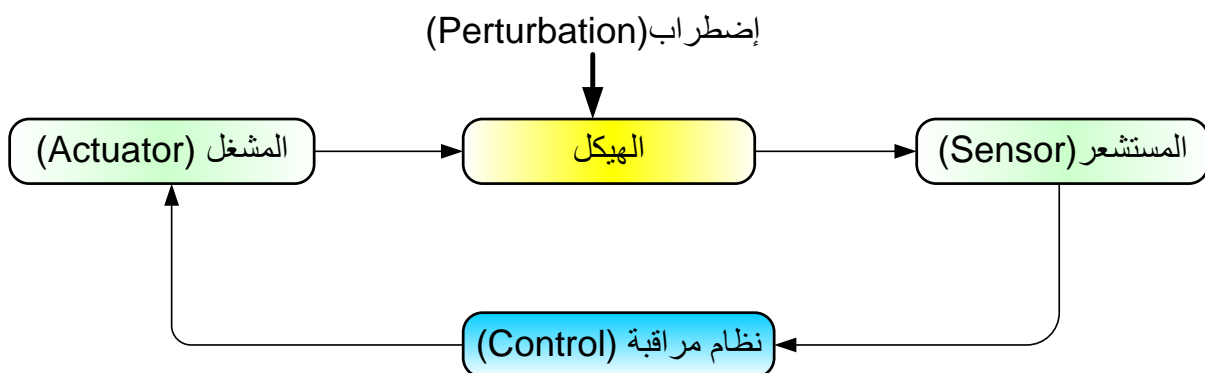
**١. الخاملة:** تتم بإضافة مواد لها خصائص تخميد، تقرن بالهيكل حيث يتم تخميد الإهتزازات دون أي تدخل خارجي إضافي. فمثلا الطليعة المكونة من مواد بوليمر (polymers) لزجة هي علاجات فعالة للغاية لتنقليل سعة الرنين للهيكل الإهتزازي، فهذه المواد تتمتع بخاصية الإنقال من حالة شبه صلبة (مطاطية) ، عند درجات الحرارة المرتفعة وترددات الإهتزاز المنخفضة ، إلى أخرى صلبة (مشدودة) في الوضع المعاكس. علاوة على ذلك فإنها قادرة على تحويل طاقة الإجهاد إلى طاقة حرارية في مرحلة الإنقال بين هاتين الحالتين، حيث تختلف خصائصهما المرنة بشكل سريع ، وبالتالي تبديد للطاقة الإهتزازية للهيكل الذي لبست عليه في شكل حرارة، بالإضافة إلى ذلك وجد أن هذه الطليعات اللزجة تكون أكثر فاعلية عندما تكون مغطاة بطبقة مرنة مما يجعل من الممكن تشوبيها في حالة القص (الشكل 1) يسمى هذا العلاج طليعة الإجهاد الخامل (Passive Constraint Coating).



شكل (1): آلية الإخماد بواسطة طليعة الإجهاد الخامل

**٢. النشطة:** بدورها تتيح التقنيات النشطة التحكم في الإهتزازات في كل لحظة بواسطة مشغلات (actuator) تعمل على الهيكل لمقاومة هذه الإهتزازات وفقاً لقانون تحكم مصمم لتقليل شدتها، ورغم ما يتطلبه هذا الحل من توفير للطاقة إلا أنه فعال في العديد من الحالات.

الهيكل الذكي أو النشط هو الذي يحتوي على مشغلات وأجهزة إستشعار (sensor) ملتصقة أو مندمجة ،ومقترنة بنظام مراقبة (الشكل 2)، عملياً تتم معالجة القياسات التي يوفرها المستشعر عن طريق نظام تحكم مناسب ، ثم ترسل للمشغل إشارة قادرة على تعديل سلوك الهيكل وتكييفه مع السلوك المطلوب.



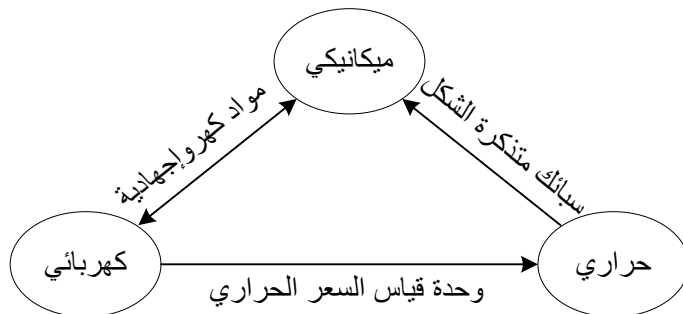
شكل (2): تعريف لبنية ذكية

هناك عدة طرق لإنشاء بنية ذكية مكونة من هيكل قاعدية. يعتمد هذا التصميم على اختيار المشغلات وأجهزة الاستشعار وأنظمة المراقبة أو التحكم المناسبة، وتصنع المشغلات والمستشعرات عموماً إنطلاقاً من ما يسمى بالمواد الذكية أو النشطة القادرة على توفير عمل موزع ناتج عن الإقتران الطبيعي لتشوهاتها أو إجهاداتها بعوامل خارجية مختلفة مثل الحقول الكهربائية، المغناطيسية أو درجات الحرارة، إلخ [1][2].

## 2. مواد ذكية جديدة

المواد الذكية هي مواد حساسة متكيفة وقابلة للتطوير وهذا ما يسمح لها بالتصريف كمستشعر (الكشف عن الإشارات) أو / وكمحرك (لتتنفيذ إجراء على بيئتها). هذه المواد قادرة على تعديل خواصها الفيزيائية بشكل تلقائي ، على سبيل المثال شكلها، لزوجتها أو لونها إستجابة لإثارة طبيعية أو مستحدثة مثل التغيرات في درجات الحرارة ، الإجهادات الميكانيكية ، والحقول الكهربائية أو المغناطيسية. لذلك فهي مناسبة بشكل خاص للتحكم ومراقبة الإهتزازات.

الفئات الثلاث الأكثر دراسة المستعملة في مراقبة الإهتزازات هي سبائك ذاكرة الشكل (shape-memory alloys)، المواد الكهرواجهدية (piezoelectrics) التي تعتبر المواد الأكثر استخداماً، ومواد التقاطع الكهربائي (electrostrictive) و المغناطيسي (magnetostriuctive). ويوجد هناك العديد من المواد الذكية التي لا يسعنا ذكرها في هذه المقدمة [3].



شكل (3): المبادلات بين الانظمة

## 1-2 السبانك المتذكرة للشكل

تتمتع هذه الخلائط بخصائصها الميكانيكية الجيدة وتكون في طورين مختلفين الأول عند درجات الحرارة المرتفعة (الأوستينيت) والثاني عند درجات الحرارة المنخفضة (مارتنسيت) الذي يسهل فيه تشكيلها أو تحويلها إلى أي صورة ويمكن بعد ذلك إستعادة شكلها الأولى عن طريق التسخين البسيط وعودة مارتينسيت إلى الأوستينيت، وهذا ما يسمى تأثير ذاكرة الشكل البسيط [4].

رغم هذه الخصائص إلا أنها غير مناسبة للتحكم الديناميكي لأن تعديل الحالة غالباً ما يكون ثنائياً دون إمكانية التحكم في الحالات البينية ويكون النطاق الترددي الخاص بها محدوداً للغاية، و من ناحية أخرى، بدأ إستخدام سبانك ذاكرة الشكل ذات مغناطيسية حديدية في التحكم النشط منذ بضع سنوات. فهي تجمع بين خصائص ذاكرة الشكل وخصائص المواد المغناطيسية وتتميز بخصائص التردد العالي يصل إلى 2000 هرتز، ويعتمد مبدأها على إقتران مغناطيسي ميكانيكي.[5]

## 2-2 المواد الكهروإجهادية

استخدام المواد الكهروضغطية له مزايا متنوعة، فهذه المواد قادرة على تحويل الطاقة الكهربائية إلى طاقة ميكانيكية حيث عند تطبيق إجهاد عليها يسبب ظهور جهد بين الأقطاب الكهربائية. هذه الظاهرة قابلة للعكس وبالتالي تسمح باستخدام العناصر الكهروإجهادية سواء كمشغل أو مستشعر أو بالجمع بين الوظيفتين. توفر المواد الكهروإجهادية مجموعة واسعة من الخصائص الكهروميكانيكية اعتماداً على تركيبتها الكيميائية، مما يجعلها مثالية للتحكم في إهتزاز الهياكل المرنة. وهناك عدة أنواع لها مزايا مختلفة. على سبيل المثال توفر البيزوسيرميک صلابة هيكلية عالية تمنحها قوة كبيرة، و يمكنها أن تتفاعل على ترددات تتراوح بين هيرتز إلى عدة ميجاهرتزات مما يجعلها مفيدة لمجموعة واسعة من التطبيقات، علاوة على ذلك ونظرًا للوزن المنخفض نسبياً للمواد الكهروإجهادية ، يمكن استخدام هذه العناصر بكمية معنيرة مع زيادة طفيفة في وزن الهيكل.

هناك أربع أصناف رئيسية من المواد الكهروإجهادية. البليورات التي تمتلك الكهروإجهادية الطبيعية، السيراميك، البوليمرات والمركبة التي تحتاج إلى الإستقطاب.

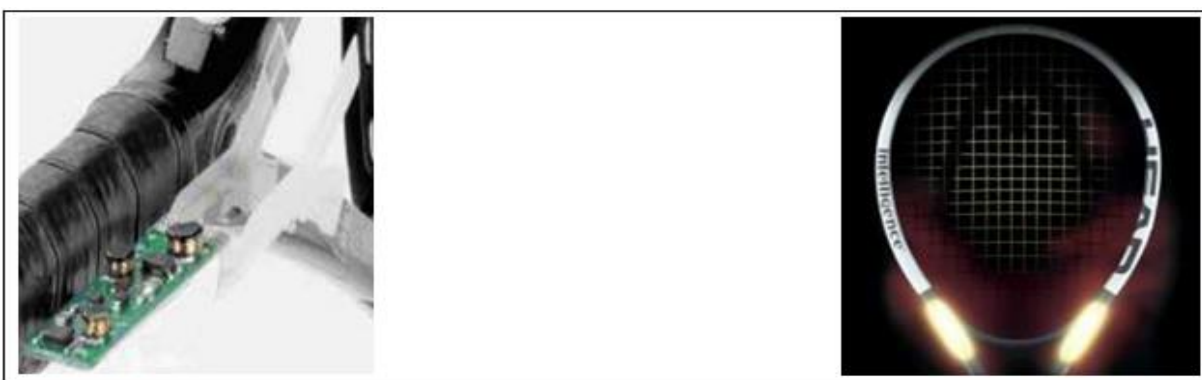
**البلورات:** البلورة الكهروإجهادية الأكثر شهرة هي الكوارتز، لكن خصائص أدائها غير فعالة في تطبيقات الإهتزاز. أما المواد الأخرى، مثل نيوبيات الليثيوم ( $\text{LiNbO}_3$ ) أو تنطلات الليثيوم ( $\text{LiTaO}_3$ ) فتظهر قيمًا لمعامل إقتران عالية، لكن التكلفة الباهظة وقابلية كسر هذه البلورات قلل من وجودها في كثير من المنتجات الحالية.

**السيراميك:** تعتبر السيراميك الكهرواجهادية من أكثر المواد المناسبة في الوقت الحالي للاستخدام في مراقبة الإهتزاز، وهي مستعملة على نطاق واسع نظراً لتكلفتها المنخفضة وأيضاً لقابلية التصنيع وسهولة تشغيلها وتطويرها، بالإضافة لأداء الفعال، وهناك العديد من التراكيب التي تختلف في خواصها العازلة والميكانيكية اختلافاً كبيراً ففي كل وضع يوجد السيراميك المناسب، ومن بينها تيتانات الباريوم التي هي أسلاف السيراميك الحالية، وعائلة (الرصاص، الزركونات والتيتانات) لوحدها لديها خمسة إلى ستة تركيبات مختلفة، والأكثر استخداماً تيتانات الرصاص  $PbTiO_3$  ، ميتانيوبات الرصاص. تيتانات الباريوم  $(BaTiO_3)$ .

**البوليمر**: يمكن لبعض البوليمرات مثل PVDF-TrFE (PolyVynilDiFluoroor) والبوليمرات المشتركة مثل PVDF-TrFE إكتساب خصائص الكهرباء الضغطية، وتميز أيضاً بإمكانية أن تكون ذات سمك صغير جدًا مع مرونة كبيرة تجعلها قابلة للتكيف مع الأسطح غير المستوية، وهذا ما جعلها تستخدم في تطبيقات مختلفة، فهي فعالة كأجهزة إستشعار، ويرجع الفضل في ذلك أيضاً إلى إنخفاض المهيستريلس لديها.

**المركبة:** المركبات النشطة هي مركبات بها ألياف لها بعض الخصائص الكهروإجهادية، وعند ظهورها في أوائل الثمانينيات أحدثت تقدماً كبيراً في مجال المواد الكهروإجهادية، التي تم تطويرها لأول مرة لتطبيقات السونار، وعلى عكس السيراميك الكهرباضغطية يمكن إستغلال معامل الكهرباضغطية الطولي (اتجاه الألياف) مما يؤدي إلى ارتفاع عوامل الإقران الكهروميكانية. وبالتالي مقاومة أفضل للتلف ويجعل من الممكن التخلص من مشكلة المساحة التي تشغله الرفاقات الكهرباضغطية، لذلك فهي مهمة في مجال مراقبة الإهتزازات.

وعلى سبيل المثال مضرب التنس HEAD هو من بين إستخدامات الألياف الكهرومغناطيسية المتعلقة بتحميم الاهتزاز، حيث يتم دمج الألياف في 4 مناطق على كل جانب من جوانب القلب والمضرب أين يكون التشوه أكبر، ويتم تحويل الطاقة الميكانيكية الناتجة عن تأثير الكرة إلى طاقة كهربائية بواسطة هذه الألياف في أقل من مللي ثانية، وتعالج الدارة المدمجة الموجودة على المقابض الإشارة وتولد إهتزازاً مضاداً يشد المضرب حيث يرسل نبضاً إلى الأوتار لتحسين الإرتداد. هذا النظام يمكنه تخفيض الإهتزاز المرتبط بتأثير الكرة إلى النصف.



شكل (4): مضرب HEAD باستخدام الألياف كهرضغطية التي تسيطر عليه المعالج الدقيق

## 3-2 مواد التقبض الكهربائي

تتشوه هذه المواد مثل PMN-PT تحت تأثير حقل كهربائي، بالتناسب مع مربع الإستقطاب، وعلى عكس المواد الكهروإجهادية فإن قانون علاقة التشوه بالإستقطاب ليست خطية، إلا أنه لا يوجد إستقطاب متبعي، وبالتالي يكون المجال الكهربائي المطبق أكبر، وبسبب الالخطية وظاهرة الهيسترياس الملازمة لهذه المواد يجعل استخدامها أكثر صعوبة للسيطرة الفعالة على الاهتزازات.

## 4-2 مواد التقبض المغناطيسي

يمكن أن تتشوه مواد التقبض المغناطيسي تحت تأثير المجال المغناطيسي و تصل نسبة تشوهها إلى حوالي 0.2% التي تجعلها من بين المواد الأكثر قابلية للتشوه، وهذه النسبة هي ضعف نسبة تشوه مواد التقبض الكهربائي، بالإضافة إلى ذلك فإن معامل إقتران هذه المواد نسبته جد مرتفعة تبلغ حتى 75% ، لكن صلابتها العالية تجعلها غير مفضلة في الإستخدام النشط، العيب الرئيسي لهذه المواد هو تغذيتها التي تتطلب تنفيذ حقول مغناطيسية، وبالتالي تيارات جد عالية التي يصعب في كثير من الأحيان إعدادها.

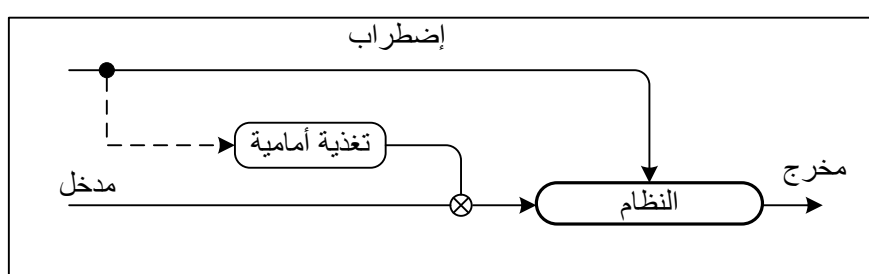
## 3. المراقبة باستخدام عناصر كهروإجهادية

ولد التحكم النشط بالاهتزازات في الثلاثينيات من القرن الماضي، وقد تم تطويره فعلياً مع ظهور معالجات الإشارات الرقمية في الثمانينيات، وأحدث استخدام المستشعرات والمحركات القائمة على السيراميك الكهروإجهادي تقدماً كبيراً في عدة تطبيقات.

يكون نظام المراقبة نشطاً إذا قام مشغل أو أكثر بتطبيق القوى على الهيكل وفقاً لقانون تحكم باستخدام مصدر طاقة خارجي لتشغيلها، وهناك مبدأً للتحكم:

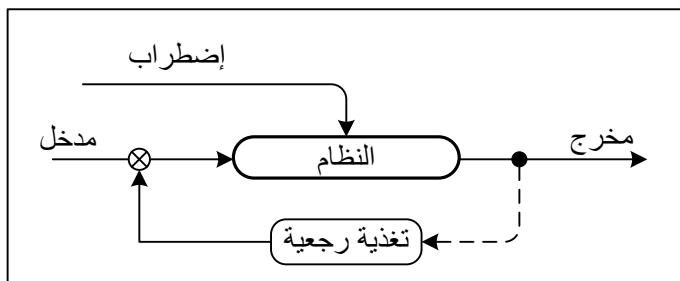
### 1- التحكم الإستباقي أو بالتغذية الأمامية (feedforward control)

يعتمد التحكم بالتغذية الأمامية (feedforward) على التوفير الإستباقي لمعلومات الإضطراب. فيتم قياس هذه الإضطرابات قبل وصولها إلى الهيكل أو النظام المراد مراقبة إهتزازاته، ولقد تم تطوير هذا التحكم الحاصل على براءة اختراع عام 1936 بشكل أساسي في مجال الصوتيات.



شكل (5): المراقبة بواسطة التغذية الأمامية

2- التحكم بمفعول أو تغذية رجعية (feedback control): يتم بمعالجة القياسات التي توفرها المستشعرات المثبتة على الهيكل مباشرة بواسطة نظام التحكم ، الذي يعيد إرسالها إلى المشغلات من أجل تقليل مستوى الإهتزازات التي يخضع لها الهيكل.



شكل (6): المراقبة بواسطة التغذية الرجعية

#### 4. إستراتيجيات المراقبة

تختلف إستراتيجيات المراقبة باختلاف تمويع المحركات وأجهزة الاستشعار، فيمكن أن تكون:

**1-4 محلية أو موضعية (locale)** وهي عندما يكون جهاز الاستشعار والمشغل متقابلين وجهاً لوجه في نفس النقطة، تستخدم فيها قوانين تحكم بسيطة للغاية (عودة ثابتة بسيطة للسرعة) ، وعلى الرغم من أن هذا التمويع يعطي متانة طبيعية إلا أنه ذو فعالية محدودة ( محلية).

**2-4 شاملة (globale)** من أجل تحقيق الاستقرار الشامل للهيكل فهي توفر إمكانية القياس في أي المكان، وأيضاً استقلالية المحرك عن المستشعر، ولذلك هناك صعوبة كبيرة في إعدادها، حيث أنها ليست قوية بشكل طبيعي وحساسة لأخطاء النمذجة.

**3-4 المراقبة اللامركزية (decentralized)** : تتمثل في مجموعة من وحدات مراقبة محلية وذات تحكم ذاتي تسمح بتحسين نتائج المراقبة الموضعية، فالهيكل مكون من أنظمة فرعية كل منها مجهز بأجهزة إستشعار ومشغلات خاصة به، وكل حلقة من حلقات هذا التحكم مستقلة فيما بينها وهذا ما يزيد من إمكانية التعديلات (إضافة أزواج إضافية دون تغيير تصميم وحدة التحكم) وأيضاً من دقة النتائج (يمكن تصميم كل حلقة التحكم بشكل منفصل وليس من الضروري حساب النموذج بالكامل).

**4-4 المراقبة الهرمية (hierarchical)** : هي تطور للسيطرة اللامركزية، إستراتيجية هذه المراقبة على النحو التالي: تتحكم وحدة مراقبة شاملة في وحدات التحكم المحلية فتتم معالجة معلوماتها بشكل تقريباً مستقل، ويستخدم هذا النوع من المراقبة على نطاق واسع في مجال النقل [3].

## 5. خوارزمية المراقبة النشطة

لتصميم نظام مراقبة يجب بناء نموذج رياضي (خوارزمية) للهيكل بشكل عام، ويجب تحديد القياسات المطلوبة للإضطرابات التي ستتعرض لها البنية ويعتمد هذا التصميم بدرجة كبيرة على اختيار المشغلات وأجهزة الإستشعار وموقعها.

## 6. قانون المراقبة

يتم اختيار قانون المراقبة وفقاً للعديد من المتغيرات على حسب أهداف هذه المراقبة وإمكانية تحضير نموذج للهيكل هذا من حيث التعقيدات ونوع الهيكل (مستمر أو متقطع، خطى أو غير خطى، مع أو بدون إقتران).

ووفقاً لهذه المعايير هناك العديد من خوارزميات المراقبة على غرار: المعدل التربيعي الخطى LQR (Proportional Integral Derivative)، المتحكم التناسبي التكاملى التفاضلى (Linear Quadratic Regulator) وطريقة التحكم إتش إينفينتي  $H_{\infty}$ ، الخ.

## 7. المراقبة المنوالية (Modal control)

من أجل تحديد المراقبة على أوضاع معينة من الهيكل تستخدم أساليب التحكم بطريقة المناول على نطاق واسع في المراقبة النشطة، تم تطوير هذه الطريقة في أوائل الثمانينيات، وهي تتمثل في إسقاط المتغيرات المختلفة التي سيتم التحكم بها في قاعدة المناول التي تتكون بشكل عام من الإزاحات والسرعات لكل وضع من أوضاع المراقبة، وميزتها هي الحصول على متغيرات مستقلة أو شبه مستقلة عن بعضها البعض.

تعتمد هذه المراقبة على عدد محدود من مناول التحكم، حيث لا تؤخذ المناول التي لم يتم اختيارها في عين الاعتبار أثناء إنشاء قانون المراقبة، وإذا لم يتم إستهلاك هذه المناول بشكل كافٍ، فيمكن أن تكون مفعلة بواسطة القانون نفسه وهذا يمكن أن يؤدي إلى تدهور الأداء أو زعزعة استقرار النظام (spillover) وهي نقطة الضعف الرئيسية في المراقبة بطريقة المناول.

هناك تقنيات مختلفة يمكن أن تقلل من عدم الاستقرار: أولاًً تموقع المحركات وأجهزة الإستشعار، ومن ناحية أخرى يمكن أن تخمد بواسطة منتص غير نشط على سبيل المثال، أو باستخدام مرشحات التمرين المنخفض (Low-pass filter).

في الوقت الحالي أصبحت إستراتيجيات المراقبة المنوالية أكثر تعقيداً، فشملت أيضاً قوانين التحكم التكيفي واللاخطي.

## الفصل الثاني

# صيغ ومعادلات الكهروإجهادية وطريقة العناصر المتناهية

من أجل تصميم نظام مراقبة يعمل بواسطة تأثير ظاهرة الكهرباء الإنضغاطية (Piezoelectricity)، يجب صياغة معادلات إقترانها الكهروميكانيكي التي تستخدم في إنشاء نموذج العناصر المتناهية.

### 1. ظاهرة الكهرباء الإنضغاطية

يمكن تعريف الإنضغاطية أو الكهروإجهادية بالعلاقة المتبادلة بين الظواهر الميكانيكية (إجهاد، تشوّه) والظواهر الكهربائية (الحقول والشحنات الكهربائية). وأكتشفت لأول مرة من قبل عالم المعادن الفرنسي رينيه أوي (R. Hauy)، وتم القياس الكمي للتأثير الكهروإجهادي من قبل الأخوين بير وجاك كوري (Pierre and Jacques Curie) في عام 1880، حيث تمت مراقبة الشحنات الكهربائية التي تظهر على سطح البلورة عند تعرضها للضغط (تأثير مباشر)، وعرض غبريل ليemann (G. Lippmann) لأول مرة التأثير المعاكس (تشوه البلورة عند تطبيق حقل كهربائي عليه)، ثم تم التحقق من صحته تجريبياً بواسطة الأخوين كوري عام 1881.

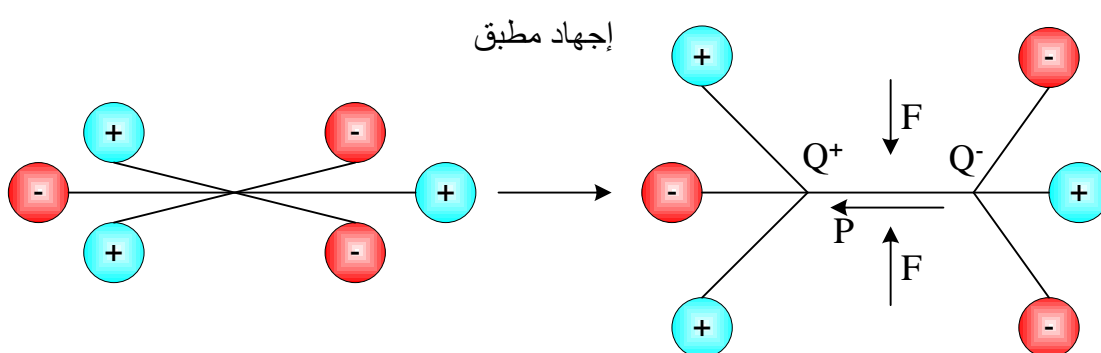
ترتبط ظاهرة الكهربائية مباشرةً بالبنية البلورية للمواد، فلأن تكون هناك كهربائية، يجب أن تكون الشحنات السالبة والمحببة مفصولة وموزعة بشكل متوازن بحيث تكون الشبكة البلورية متوازنة كهربائياً بشكل عام.

تحتوي المادة على استقطاب ناتج عن عزم ثالث القطب  $P$ :

$$(1) \quad P = qd$$

حيث:  $q$  شحنة كل مرجح (barycenter)،  $d$  المسافة بين النقطتين.

تشوه الشبكة عند تطبيق جهد ميكانيكي عليها (تنقص المسافة  $d$ )، وهذا يؤدي إلى توليد جهد كهربائي.



شكل (7): نزوح شحنات موجبة ( $Q^+$ ) بالنسبة لأخرى سالبة ( $Q^-$ ) في المادة

## 2. معادلات الكهروضغطية

يمكن صياغة معادلات الكهرواجهادية إنطلاقاً من معادلات الديناميكا الحرارية، مع الأخذ في الاعتبار أزواج المتغيرات المستقلة:

(S,D) ، (T,E) ، (S,E) ، (T,D) حيث  $E$  يمثل الحقل الكهربائي ( $V/m$ ) ،  $T$  الإجهاد الميكانيكي ( $N/m^2$ ) ،  $D$  الإنقال أو التهيج الكهربائي ( $C/m^2$ ) و  $S$  التشوه ( $m/m$ ).

وبالتالي فإن عبارة كمون الديناميكا الحرارية لـ جوزيه غيبس (Gibbs) في حالة التحول الأدبياتي العكوس تجعل من الممكن صياغة عبارة مختلف معاملات الكهروضغطية في حالة تطوير الدرجة الأولى.

$$(2) \quad G = U - TS - ED$$

حيث  $U$  الطاقة الداخلية للنظام، والمتغيرات  $E$ ،  $T$ ،  $D$  و  $S$  المشتقات الجزئية لغيبس، نحصل على المعادلات الثمانية التالية:

متغيرات مستقلة	كميات كهربائية	كميات ميكانيكية
$E, T$	$D = dT + \mathcal{E}^T E$	$S = s^E T + d^t E$
$D, T$	$E = \beta^T D - gT$	$S = s^D T + g^t D$
$E, S$	$D = \mathcal{E}^S E + eS$	$T = c^E S - e^t E$
$D, S$	$E = \beta^S D - hS$	$T = c^D S - h^t D$

جدول (1): معادلات الكهرواجهادية

حيث:

$[ ]^t$  منقول المصفوفة [ ].

$T$  إجهاد ميكانيكي ( $N/m^2$ ).

$S$  التشوه النسبي ( $m/m$ ).

$E$  الحقل الكهربائي ( $V/m$ ).

$D$  الإزاحة الكهربائية أو الحث ( $C/m^2$ ).

$s$  المطاوعة أو اللدونة ( $N/m^2$ ).

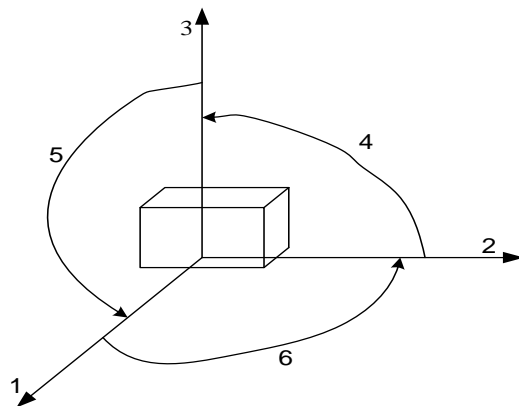
$c$  مصفوفة المرنة ( $N/m^2$ ).

$\mathcal{E}$  السماحة الكهربائية ( $F/m$ ).

$\beta$  ثابت شدة العزل أو الكهربائي ( $m/F$ ).

أو  $C/V$ ،  $(m^2/C)g$ ،  $(C/m^2)e$ ،  $(m^2/C)h$  ثوابت الكهروإجهادية تمثل النسبة بين الشحنة والتشوه وبين الحقل.

العلاقات المحددة تشير إلى الاتجاهات المختارة الموضحة في الشكل(8). تمثل التشوّهات والإجهادات الموازية للمحاور  $T_1, T_2, T_3$ ،  $S_1, S_2, S_3$ ،  $S_4, S_5, S_6$ ،  $T_4, T_5, T_6$  فتمثل تشوّهات وإجهادات القص حول نفس المحاور.



شكل (8): ترقيم المحاور

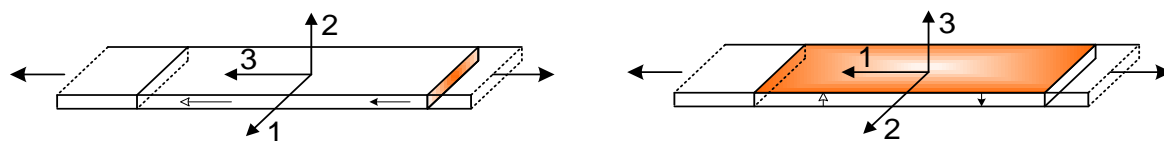
### 3. أوضاع إقتران السيراميك الكهروضغطى

البنية البلورية للسيراميك لها ميزة التناطر التي تعطي المصفوفات التالية:

$$S = \begin{bmatrix} S_{11} & S_{12} & S_{13} & 0 & 0 & 0 \\ S_{21} & S_{22} & S_{23} & 0 & 0 & 0 \\ S_{31} & S_{32} & S_{33} & 0 & 0 & 0 \\ & & S_{44} & 0 & 0 & 0 \\ & & & S_{55} & 0 & 0 \\ & & & & S_{66} & 0 \end{bmatrix}; E = \begin{bmatrix} \varepsilon_{11} & 0 & 0 \\ 0 & \varepsilon_{11} & 0 \\ 0 & 0 & \varepsilon_{33} \end{bmatrix}; d = \begin{bmatrix} 0 & 0 & 0 & 0 & d_{15} & 0 \\ 0 & 0 & 0 & d_{15} & 0 & 0 \\ d_{31} & d_{31} & d_{33} & 0 & 0 & 0 \end{bmatrix}.$$

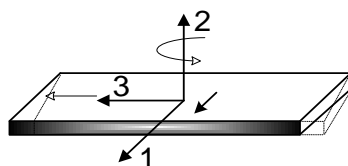
السيراميك الكهروضغطى له ثلاثة أوضاع إقتران كهروميكانيكي رئيسية:

- الوضع الطولي (33)
- الوضع العرضي (31)
- وضع القص (15)



الوضع الطولي(33)

الوضع العرضي(31)



وضع القص(51)

شكل (9): أوضاع إقتران السيراميك الكهروضغطى

#### 4. تحويل الطاقة تحت تأثير الكهروضغطية

الكهروضغطية لها قدرة مباشرة على التحويل الكهروميكانيكي للطاقة.

طريقة عمل مشغل كهروضغطي في دورة نظرية لتحويل الطاقة الكهربائية إلى طاقة ميكانيكية تجعل من الممكن تحديد خصائص التحويل خاصة معامل الإقتران الكهروميكانيكي الذي يلعب دوراً أساسياً في تقنيات مراقبة و إخماد الأنظمة.

الشكل (10) يوضح الحلقة النظرية لتحويل الطاقة، التي يمكن تقسيمها إلى ثلاثة مراحل تفصل مراحل العمل الميكانيكي عن تلك الخاصة بالأعمال الكهربائية، يتم توصيل المحرك الكهروإجهادي بمصدر جهد متالي يفرض حفلاً كهربائياً على طول المحور 3 على افتراض أن تعمل في وضع عرضي وبالتالي تشهو وفقاً للمحور 1 ، الدراسة الموضوعة هنا لمشغل كهروضغطية يخضع لحقل كهربائي، إذا في حالة تأثير كهروضغطية عكسي.

خلال المرحلة الأولى لهذه الدورة (AO) المشغل يكون حراً ومع إجهاد ثابت  $T_1$ ، ينشئ تأثير الحقل الكهربائي المطبق  $E_3$  ويخرجن الطاقة  $W$  المقابلة للعمل الكهربائي وبالتالي العمل الميكانيكي يكون معروضاً ويمكن التعبير عن عمل المصدر الكهربائي  $We_{OA}$  بدلالة الحقل الكهربائي المطبق وخصائص المادة مع إجهاد مستمر بالعلاقة:

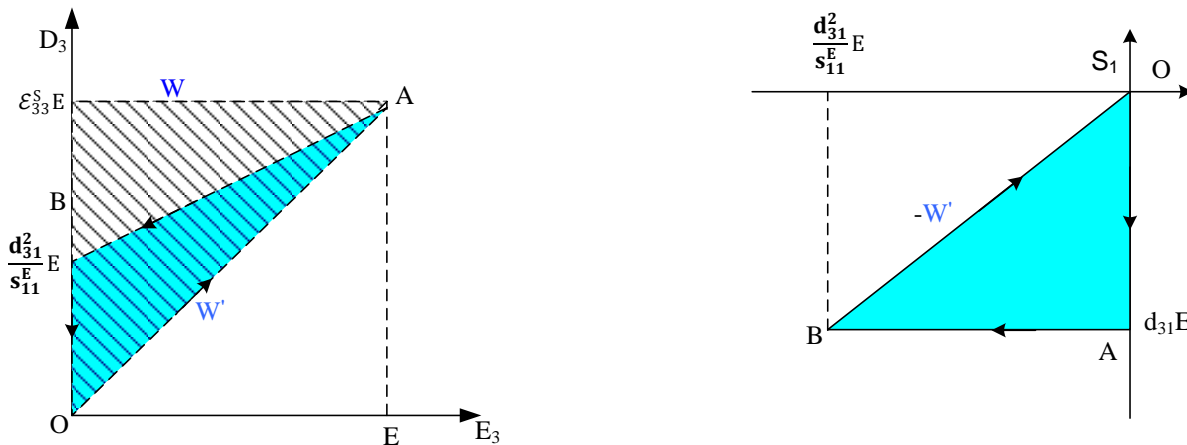
$$(3) \quad We_{OA} = \int_0^A E_3 dD_3 = \frac{1}{2} E_3^2 = W > 0.$$

وفي المرحلة الثانية (AB) تم استعادة جزء من الطاقة الكهربائية التي يوفرها المصدر في شكل كهربائي بينما يتم تخزين الطاقة المتبقية في المواد في شكل مرونة، وبذلك تتم إعادة الحقل الكهربائي  $E_3$  إلى قيمة معروفة مع وجود تشهو  $S_1$  نفترض أن يكون ثابت، العمل الميكانيكي عندئذ يكون معروضاً و يمكن التعبير عن الأعمال الكهربائية المستردة بدلالة الحقل الكهربائي المطبق وخصائص المادة عند التشهو الثابت :

$$(4) \quad We_{AB} = \int_A^B E_3 dD_3 = -\frac{1}{2} \mathcal{E}_{33}^S E_3^2 = W_i < 0,$$

أما في المرحلة الثالثة (BO) فيتم تحرير السيراميك واستعادة الطاقة المخزنة في شكل عمل ميكانيكي 'W، الحقل الكهربائي E3 معادوم وبالتالي العمل الكهربائي معادوما.

$$(5) \quad W_{m_{BO}} = \int_B^0 T_1 dS_1 = -\frac{1}{2} \frac{d_{31}^2}{s_{11}^E} E_3^2 = -W' < 0$$



شكل (10) : الدورة النظرية لتحويل الطاقة في حالة مشغل كهربائي ضعفي

يمكن التعبير عن الطاقة المحولة 'W بدلالة العمل المنجز بواسطة المصدر الكهربائي والطاقة المستعاد إلى المصدر في شكل أعمال كهربائية

$$(6) \quad W' = W - W_i$$

النسبة بين الطاقة المحولة 'W وطاقة البداية التي يوفرها المصدر W، تميز قدرة المحول على تحويل الطاقة. حيث يُعرف جذر هذه النسبة بمعامل إقتران الكهروميكانية للسيراميك الكهروميكانيكي  $K_{31}$  :

$$(7) \quad K_{31} = \sqrt{\frac{W'}{W}}$$

من (3)، (5) و(7) نكتب

$$(8) \quad K_{31} = \sqrt{\frac{d_{31}^2}{s_{11}^E \epsilon_{33}^S}}$$

هذا هو معامل الإقتران الكهروميكانيكي لسيراميك وحيدة وحرة [5].

## 5. الدراسة بطريقة العناصر المتناهية

طريقة العناصر المتناهية هي طريقة حساب عددية ذات طابع فيزيائي أكثر منه مجرد، وضعت إلى حد ما من قبل المهندسين أكثر من علماء الرياضيات، وتم تطبيق هذه الطريقة لأول مرة في المشكلات المتعلقة بتحليل الإجهاد، ثم وسعت لتشمل مشاكل أخرى متعلقة بالأوساط المستمرة.

في جميع التطبيقات نسعى إلى حساب كمية من الحقول على سبيل المثال:

الحقول المدروسة	التطبيق
الإجهادات أو الإزاحات	تحليل الإجهادات
درجة الحرارة أو التدفق الحراري	تحليل الحرارة
دالة أو سرعة التيار	سريان الم وأنع

طريقة العناصر المتماثلة تمكنا من حل مشكلة النتائج التحليلية التي يصعب إيجادها بقيمها الدقيقة، بتوفيرها حل تقريري للحل الدقيق، حيث يجزأ الوسط المدروس إلى عدة عناصر مترابطة فيما بينها بواسطة عقد، الشكل الهندسي للعنصر يتميز بعدد محدود من العقد على محيطه.

الحل بطريق العناصر المتماثلة هو إيجاد مدار الإزاحة (مثل الانتقال والدوران) لهذه العقد، ويتم تحديد مجال النزوح في أي نقطة من الوسط المدروس عن طريق الاستيفاء بين القيم المحددة في العقد، ويستند الاستيفاء على استخدام دالة الشكل.

### 1-5 الطاقة الكامنة و مصفوفة الصلابة

الطاقة الكامنة للعنصر هي

$$(9) \quad U_i = \frac{1}{2} \int_{\Omega} \epsilon^t \sigma \, d\Omega$$

إنقال نقطة بدلالة الانتقال العقدي يعطى بـ :

$$(10) \quad d = N \delta$$

حيث  $d$  هو شعاع إنقال نقطة ما داخل العنصر، المصفوفة  $N$  نتيجة فرضية حول الانتقال داخل العنصر،  $\delta$  شعاع إنقال عقد العنصر.

بإشتراك العلاقة 10 نجد علاقة التشوه بدلالة الانتقال العقدي:

$$(11) \quad \epsilon = B \delta$$

$$(12) \quad \sigma = D \epsilon \quad \text{نعلم أن}$$

حيث  $D$  مصفوفة مربعة متماثلة عناصرها مرتبطة بالخصائص الميكانيكية للمواد ( $E, \nu$ )

بتعويض 11 و 12 في 9 نجد:

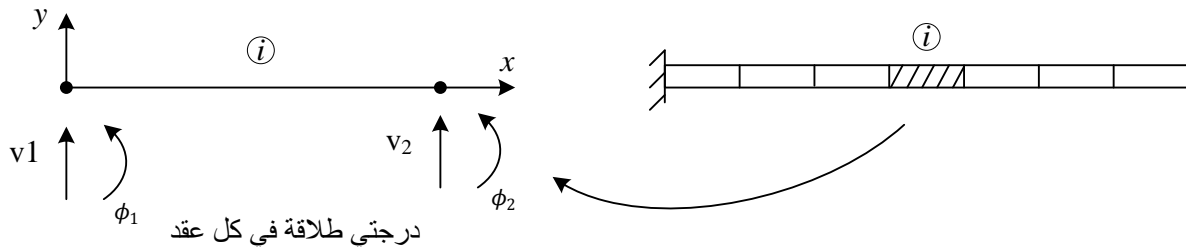
$$(13) \quad \begin{aligned} U_i &= \int_{\Omega} (B\delta)^t DB\delta \\ &= \frac{1}{2} \delta^t [ \int_{\Omega} B^t DB \, d\Omega ] \delta = \frac{1}{2} \delta^t K_i \delta \end{aligned}$$

و منه مصفوفة الصلابة للعنصر هي

$$(14) \quad K_i = \int_{\Omega} B^t D B \, d\Omega.$$

وتكون متماثلة لأن  $D$  متماثلة.

## 2-5 مصفوفة الصلابة في حالة حركة انعطاف لجائز :



شكل (11): عارضة مثبتة حررة (حالة انعطاف)

$$(15) \quad V(x) = a_1 + a_2 x + a_3 x^2 + a_4 x^3.$$

$$(16) \quad \phi(x) = \frac{\partial V}{\partial x} = a_2 + 2a_3 x + 3a_4 x^2.$$

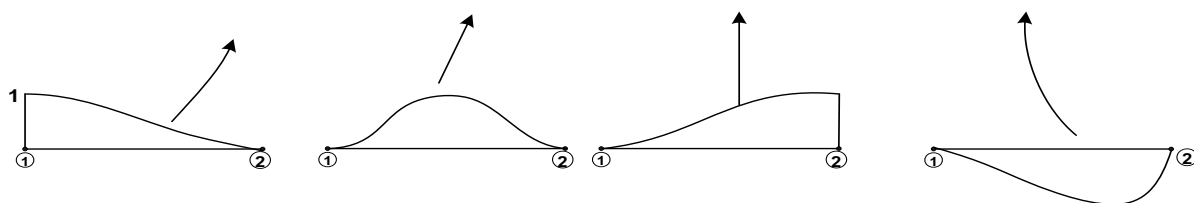
$$V_1 = a_1 \quad \text{عند } x=0$$

$$\phi_1 = a_2 \quad \text{عند } x=l$$

$$(17) \quad V_2 = a_2 l + a_3 l^2 + a_4 l^3$$

$$(18) \quad \phi_2 = a_2 + 2a_3 l + 3a_4 l^2$$

$$(19) \quad V(x) = \begin{bmatrix} 1 - \frac{3x^2}{l^2} + \frac{2x^3}{l^3} \\ N_1 \end{bmatrix} ; \quad \begin{bmatrix} x - \frac{2x^2}{l} + \frac{x^3}{l^2} \\ N_2 \end{bmatrix} ; \quad \begin{bmatrix} \frac{3x^2}{l^2} - \frac{2x^3}{l^3} \\ N_3 \end{bmatrix} ; \quad \begin{bmatrix} -\frac{x^2}{l} + \frac{x^3}{l^2} \\ N_4 \end{bmatrix} \begin{Bmatrix} V_1 \\ \phi_1 \\ V_2 \\ \phi_2 \end{Bmatrix}$$



من خصائص هذه الدوال (دواو الشكل) أن لها قيمة الوحدة عند العقد المعني وقيمة معدومة فيما سواها.[6]

في حالة الانعطاف :

$$(20) \quad \varepsilon = \varepsilon_x = -y \frac{\partial^2 V}{\partial x^2}$$

$$(21) \quad \mathcal{E} = -y \left[ -\frac{6}{l^2} + \frac{12x}{l^3}; \ -\frac{4}{l} + \frac{6x}{l^2}; \ \frac{6}{l^2} - \frac{12x}{l^3}; \ -\frac{2}{l} + \frac{6x}{l^2} \right] \begin{Bmatrix} V_1 \\ \phi_1 \\ V_2 \\ \phi_2 \end{Bmatrix}$$

$$(22) \quad U = \frac{1}{2} \frac{EI}{L^3} \begin{Bmatrix} V_1 \\ \phi_1 \\ V_2 \\ \phi_2 \end{Bmatrix}^t \begin{bmatrix} 12 & 6l & -12 & 6l \\ 6l & 4l^2 & -6l & 2l^2 \\ -12 & -6l & 12 & -6l \\ 6l & 2l^2 & -6l & 4l^2 \end{bmatrix} \begin{Bmatrix} V_1 \\ \phi_1 \\ V_2 \\ \phi_2 \end{Bmatrix}$$

$$(23) \quad k_i = \frac{EI}{l^3} \begin{bmatrix} 12 & 6l & -12 & 6l \\ & 4l^2 & -6l & 2l^2 \\ sym & & 12 & -6l \\ & & & 4l^2 \end{bmatrix}$$

### 3-5 الطاقة الحركية و مصفوفة الكتلة لعنصر

$$(24) \quad E_c = \frac{1}{2} \int_{\Omega} \rho V^2 d\Omega$$

$$d = N \delta \rightarrow V = N \dot{\delta} \quad \text{ولدينا}$$

$$(25) \quad E_c = \frac{1}{2} \int_{\Omega} \rho (N \dot{\delta})^t \cdot N \dot{\delta} d\Omega$$

$$(26) \quad E_c = \frac{1}{2} \dot{\delta}^t \left[ \int_{\Omega} \rho N^t N d\Omega \right] \dot{\delta}$$

$$(27) \quad E_{c,i} = \frac{1}{2} \dot{\delta}^t M_i \dot{\delta} \rightarrow M_i = \int_{\Omega} \rho N^t N d\Omega$$

وفي حالة حركة إلتعاف لجائز مصفوفة الكتلة هي كالتالي:

$$(28) \quad M_i = \frac{\rho sl}{420} \begin{bmatrix} 156 & 22l & 54 & -13l \\ 22l & 4l^2 & 13l & -3l^2 \\ 54 & 13l^2 & 156 & -22l \\ -13l & -3l^2 & -22l & 4l^2 \end{bmatrix}$$

### 6. طريقة العناصر المتماثلة في الحالة الديناميكية

لتقييم سلوك الهياكل المعقدة يلزم استخدام طريقة العناصر المتماثلة، كما أنها تجعل من الممكن تصميم الهياكل الذكية أيضا ولا سيما فيما يتعلق بتحديد موضع المشغلات وأجهزة الاستشعار الكهروإجهادية و وضع التقديرات الأولية لأداء نظام المراقبة، ويتم الحصول على معادلة المنظومة :

$$(29) \quad \begin{cases} m\ddot{\delta} + c\dot{\delta} + K_z v = f \\ K_z^t \delta + C_p v = Q \end{cases}$$

إنطلاقاً من معادلات الكهروضغطية المذكورة سابقاً و مبدأ هاميلتون:

$$(30) \quad \delta \int_{t_1}^{t_2} (L + W) dt = 0,$$

حيث تشير  $t_1$  و  $t_2$  إلى لحظتين مختلفتين،  $L$  معادلة لاغرانج و  $W$  هو العمل الافتراضي للقوى الميكانيكية والكهربائية الخارجية.

$\delta$  هو متوجه الإزاحة ،  $v$  هو متوجه الكهربائي،  $m, k, m$  هي على التوالي مصفوفة الكتلة، الصلابة والإحماد،  $K_z$  هي مصفوفة الاقتران الكهروإجهادي،  $C_p$  القوى العقدية،  $C_p$  هي مصفوفة السعة و  $Q$  تمثل مصفوفة الشحنات الكهربائية.

## 7. استخدام طريقة المناول

إذا كان لمنظومة  $n$  درجة طلاقة لها  $n$  هزة خاصة  $\omega_i$  و  $n$  شكل خاص  $X_i$ ، اللذان يعرفان المناول الخاص  $\phi_i$ .  
إذن كل منظومة ذات  $n$  درجة طلاقة لها  $n$  منوال.

$$(31) \quad \Phi = [\phi_1, \phi_2, \dots, \phi_n]$$

$\Phi$  تسمى مصفوفة المناول أو العبور.

الإسقاط في قاعدة المناول

لتكن هناك علاقة بين  $\delta$  و  $\Phi$ :

$$(32) \quad [\delta] = [\Phi][q]$$

حيث  $\delta$  و  $q$  هما بالترتيب الإحداثيات الفيزيائية والإحداثيات في قاعدة المناول.

وبالتعويض في معادلة المنظومة نجد :

$$(33) \quad \begin{cases} m\ddot{\phi} + c\dot{\phi} + k\phi q + k_z v = f \\ K_z^t \phi q + C_p v = Q \end{cases}$$

وبالضرب في  $\Phi^{-1}$  تصبح

$$(34) \quad \begin{cases} M\ddot{q} + C\dot{q} + Kq + \alpha v = f \\ \alpha^t q + C_p v = Q \end{cases}$$

حيث  $M, C$  و  $\alpha$  هي على الترتيب المصفوفة المنوالية لـ: الكتلة، الإحماد، الصلابة والإقتران الكهروميكانيكي .

## 8. التحكم النشط

في هذه المرحلة نقوم بتحويل معادلة الحركة (34) للمنظومة الى معادلة الحالة والتي تعطى بالعلاقة:

$$\begin{cases} \dot{x}(t) = Ax(t) + Bu(t) \\ y = Cx(t) \end{cases}$$

حيث  $A, B, C$  هي مصفوفات: المنظومة، المدخل و المخرج على الترتيب وهي كالتالي:

$$(36) \quad [A] = \begin{bmatrix} 0 & \omega_i \\ -\omega_i & 2\zeta_i\omega_i \end{bmatrix}$$

$$(37) \quad [B^t] = [0 \quad b_i]$$

$$(38) \quad [C] = [c_i \quad 0]$$

$b_i$  يمثل فعل المشغل عند المنوال الخاص  $i$ :

$$(39) \quad b_i = (2h + h_p) \int_s \left( e_{31} \frac{\partial^2 \phi}{\partial x^2} + e_{32} \frac{\partial^2 \phi}{\partial y^2} \right) ds$$

$C_i$  يمثل ثابت الكشف للمستشعر عند المنوال الخاص  $i$ :

$$(40) \quad C_i = \frac{1}{\mathcal{E}_{33}} (h + h/2) \int_s \left( e_{31} \frac{\partial^2 \phi}{\partial x^2} + e_{32} \frac{\partial^2 \phi}{\partial y^2} \right) ds$$

$(\phi, \omega_i)$  يمثلان الزوج (التردد / الشكل) الخاص  $i$ .

$\zeta_i$  هو نسبة الاحماد.

$e_{32}, e_{31}$  معاملات الكهروضغطية.

نفرض الدالة في الحالة المراقبة الآتية:

$$(41) \quad \{\Psi\} = [G]\{x\}$$

$G$  مصفوفة الجواب (gain) في حالة الرجعية.

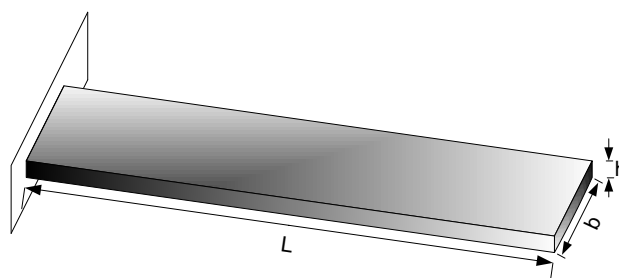
من اجل المنظم LQR انتقاء  $Q$  و  $R$  ضروري [7].

## الفصل الثالث

نمذجة العارضة الذكية باستعمال طريقة العناصر المتناهية  
بواسطة برنامج ANSYS

في هذه الدراسة نتناول نمذجة عارضة ذكية. نقوم بتحديد الخصائص الإهتزازية أولاً لعارضة الأساس (عارضه متجانسة بدون رفاقات كهروإجهادية) والمتمثلة في تحديد الأنماط والاهتزازات الطبيعية، وثانياً للعارضه الذكية (بعد تثبيت الرفاقات)

### 1. نمذجة عارضة الأساس :



شكل (12): عارضة الأساس (مثبتة-حرة)

الخصائص الميكانيكية موجودة في الجدول (2):

م 400	الطول (L)
م 25	العرض (b)
م 3	السمك (h)
بايسكال 110 . 2,07	معامل يونغ (E)
كغ/م <sup>3</sup> 7850	الكتلة الحجمية ( $\rho$ )

جدول(2): الخصائص الميكانيكية

نظرياً يتم حساب الترددات الخاصة لهذه العارضة بالعلاقة التالية :

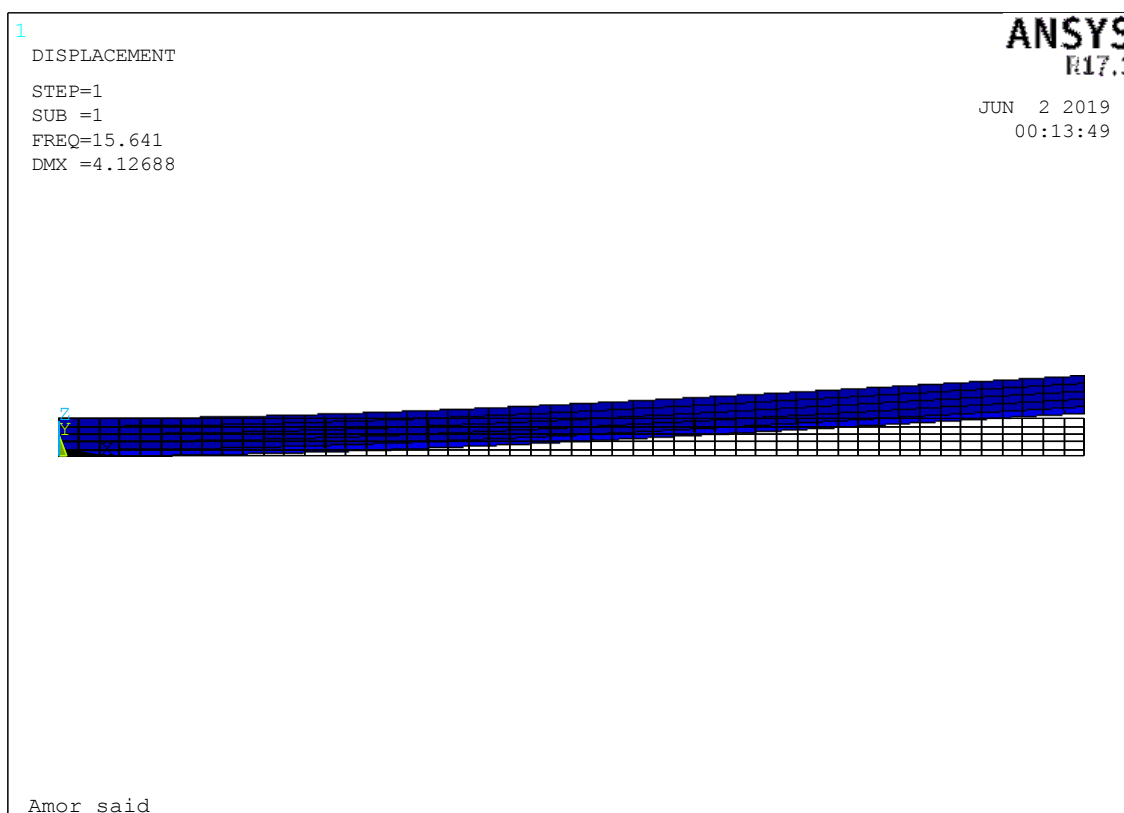
$$(35) \quad f_i = \frac{X_i^2}{2\pi L^2} \sqrt{\frac{EI}{\rho S}} \quad (\text{Hz})$$

حيث:  $X_i$  المعامل الخاص بكل منوال وهو يتعلق بالشكل الهندسي والشروط الحرية،  $I$  العزم الرباعي  $I = b^*h^3/12$

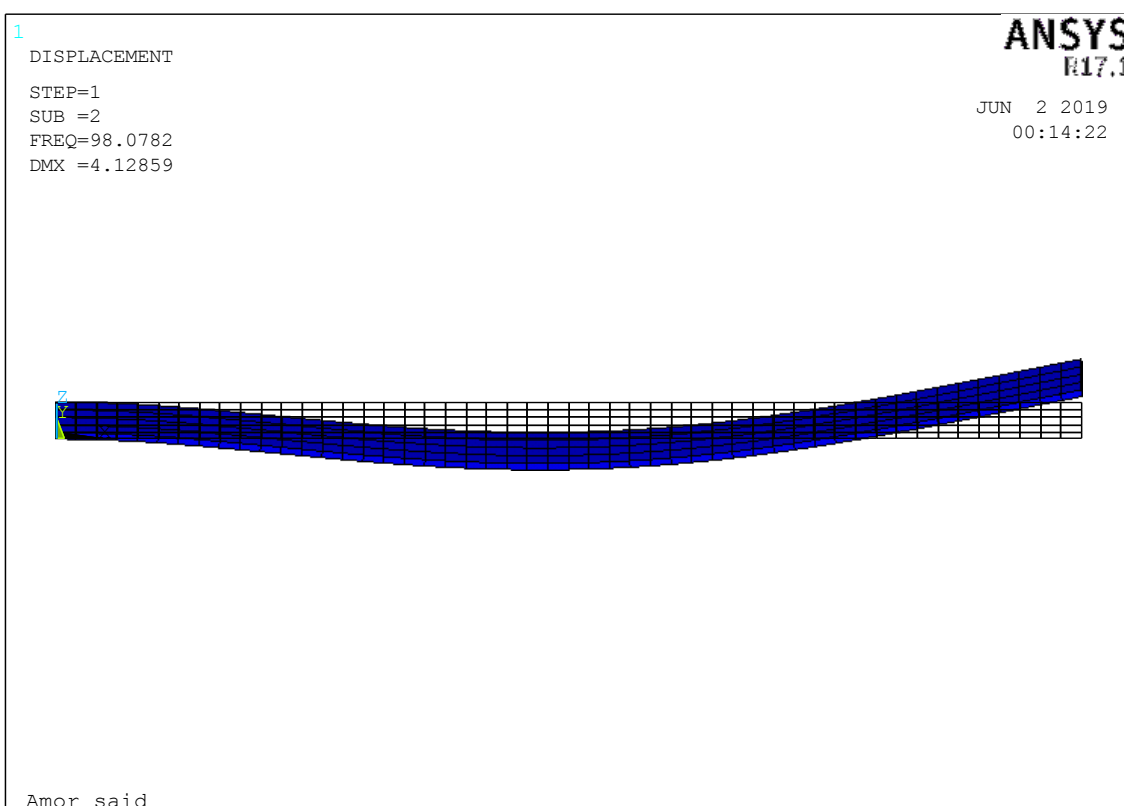
الوضع	$X_i^2$	العرض (Hz) $f_i$	ANSYS (Hz) $f_i$
1	3,516	15,553	15,641
2	22,03	97,452	98,078
3	61,69	272,889	275,146

جدول(3): قيم ثلاثة ترددات خاصة (حالة إنعطاف)

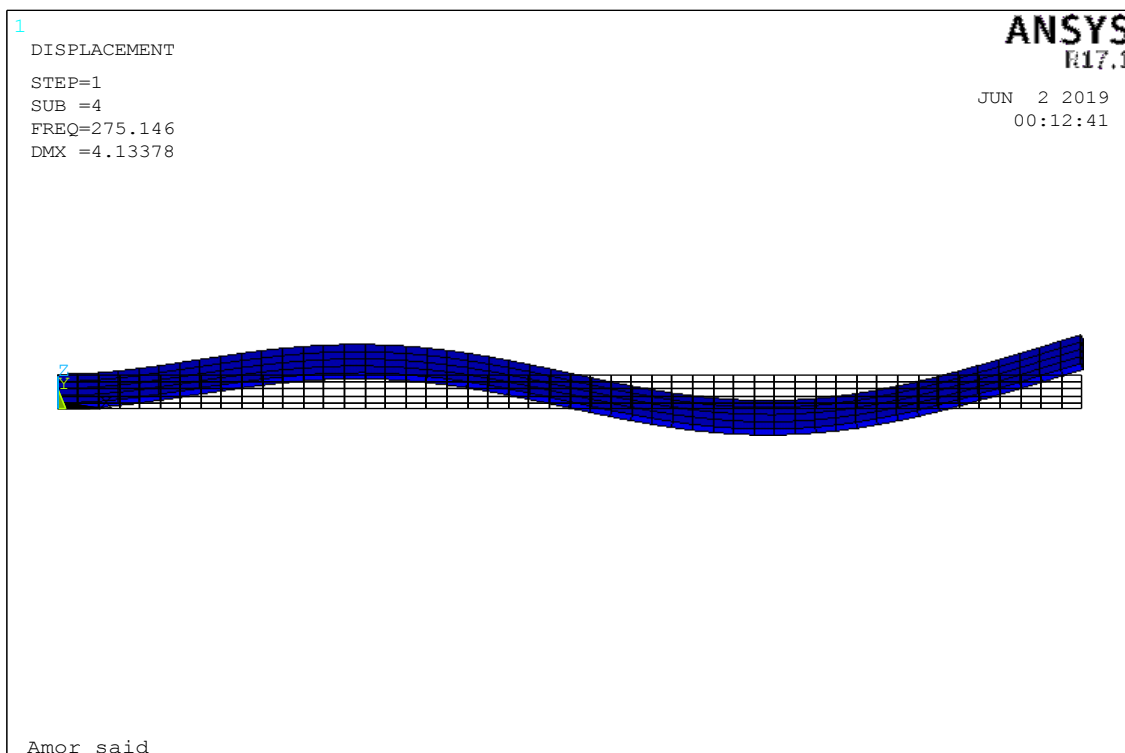
الشكل (13) يوضح مناول الاهتزاز لعارضه الأساس:



المنوال الأول



المنوال الثاني



### المنوال الثالث

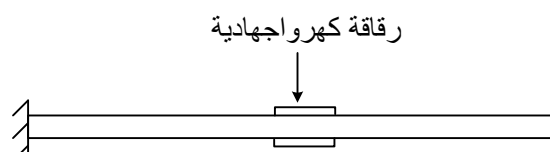
شكل (13): مناول العارضة الاساس عند الترددات الطبيعية الثالث.

## 2. نمذجة العارضة الذكية

في هذه المرحلة ندرس عارضة الأساس مضاف إليها زوج من الرفاقات الكهرواجهادية الملصقة مثاليا على بعد 175مم من الجهة المثبتة.

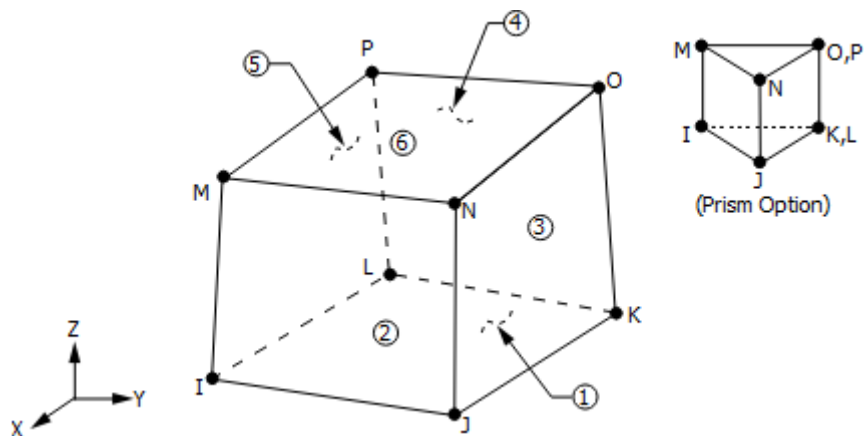
لنمذجة العارضة الذكية نتبع الخطوات التالية:

أ\_ رسم النموذج الذكي.



شكل (14): عارضة مثبتة عليها الرفاقات

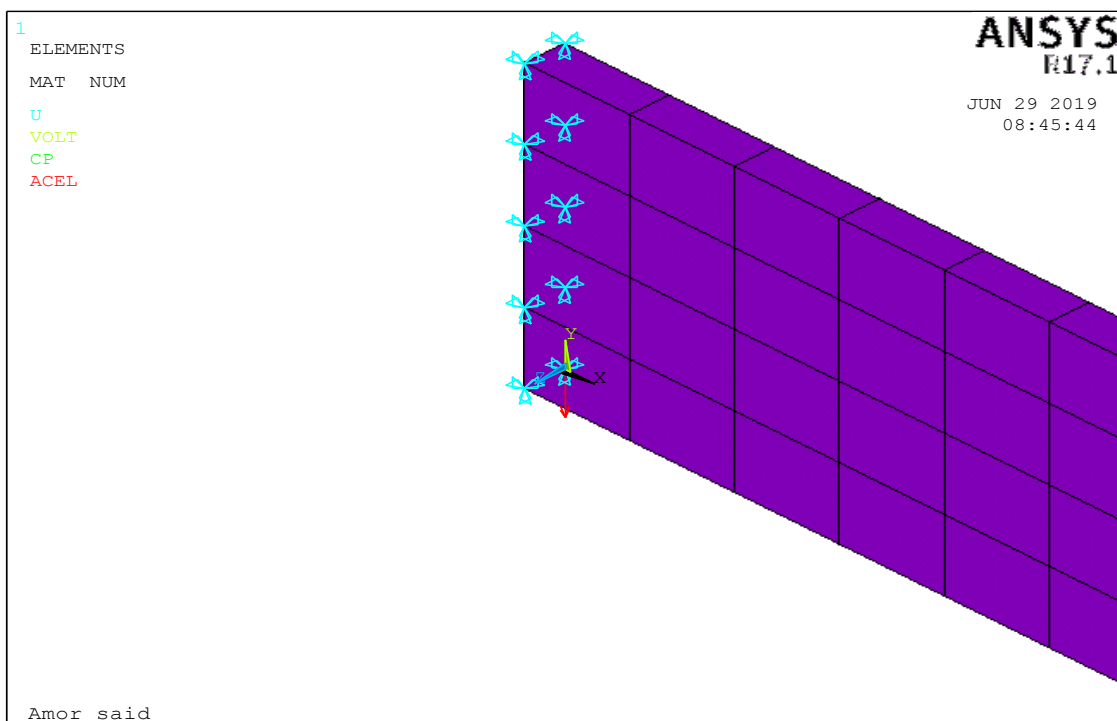
**بـ** إختيار عناصر مكتبة ANSYS.apdl، العنصر النموذجي SOLID5,2 لعارضة الأساس، العنصر النموذجي SOLID5,3 لنمذجة الرفاقات وتنشيط الفعل الكهروإجهادي.



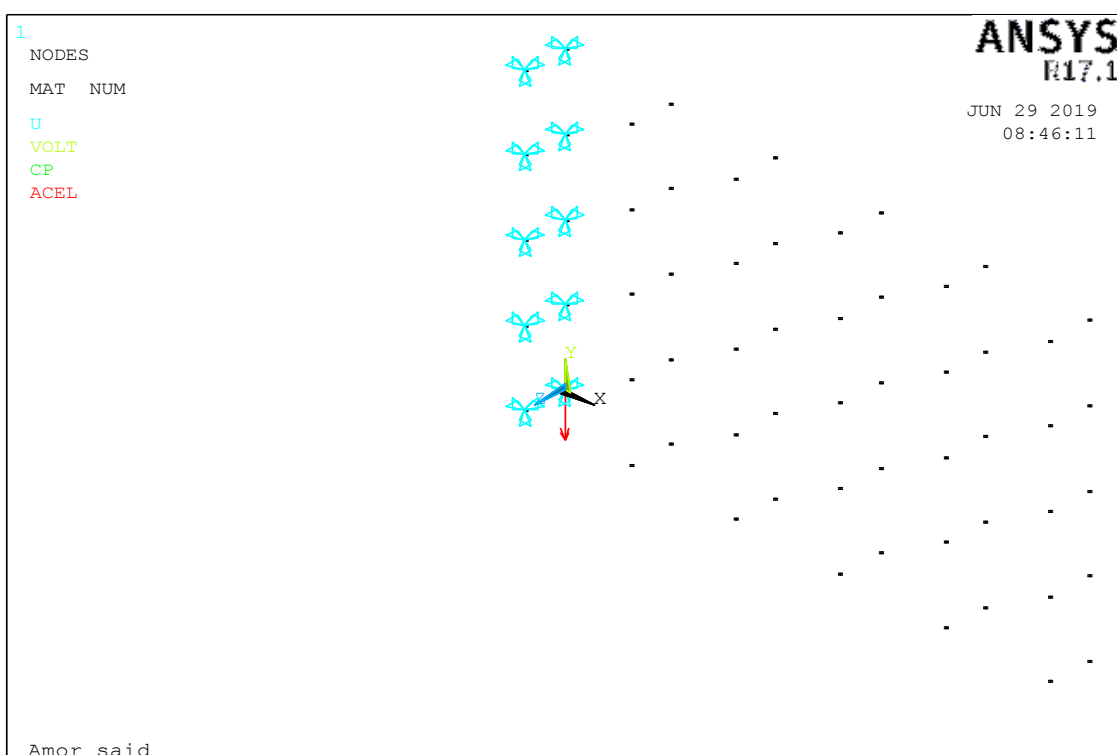
شكل (15): الشكل الهندسي لـ (ANSYS) SOLID5

**جـ** إدخال الخصائص الميكانيكية للعارضه الأساس و الخصائص الميكانيكية والكهربائية للرفاقات.

د\_ لتمثيل الشروط الحدية نقوم بتنشيط جميع عقد الحافة



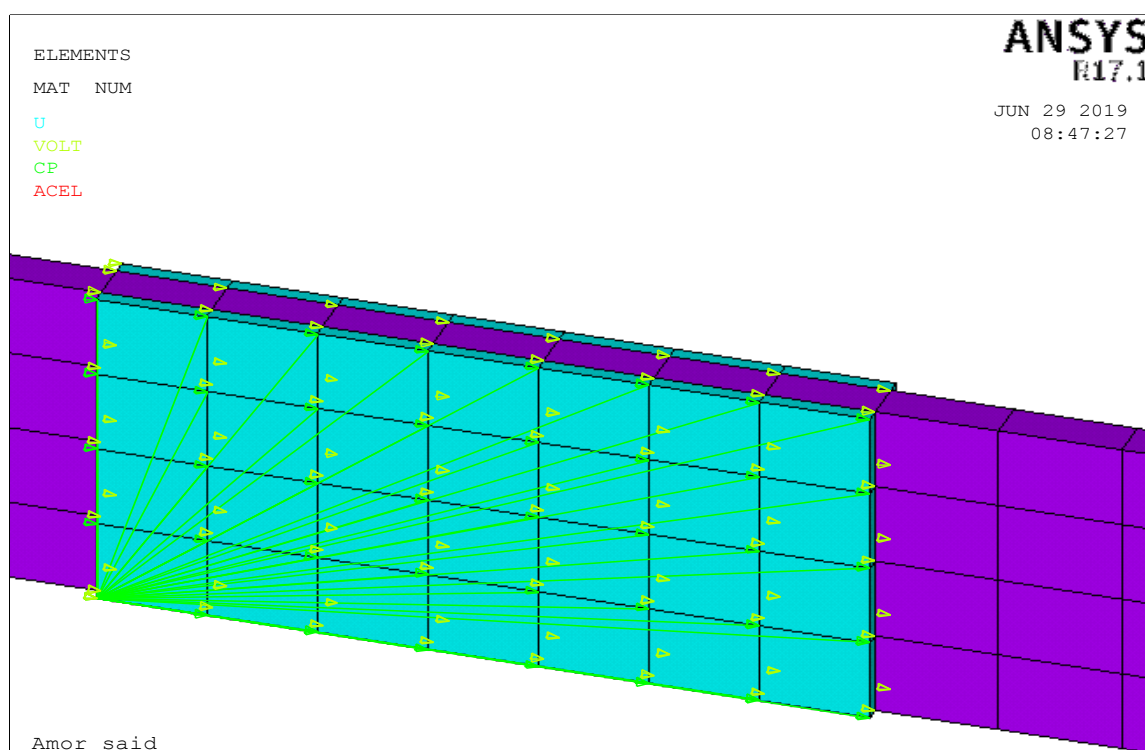
البنية عنصريا



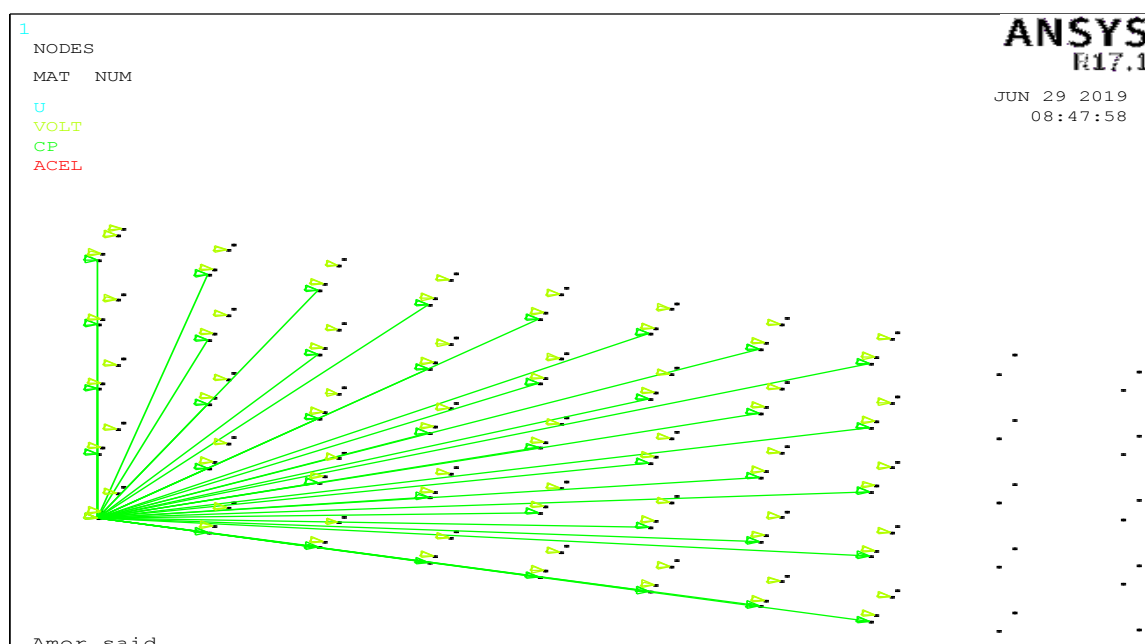
البنية عديا

شكل (16): تمثيل الشروط الحدية

٥\_ نقوم بتقسيم خاص من أجل الحصول على تطابق كلي لعقد الرفاقات مع عقد العارضة الأساسية والمزاوجة بين درجات الطلاقة الميكانيكية والكهربائية وهذا بهدف تنشيط الفعل الكهروميكانيكي.



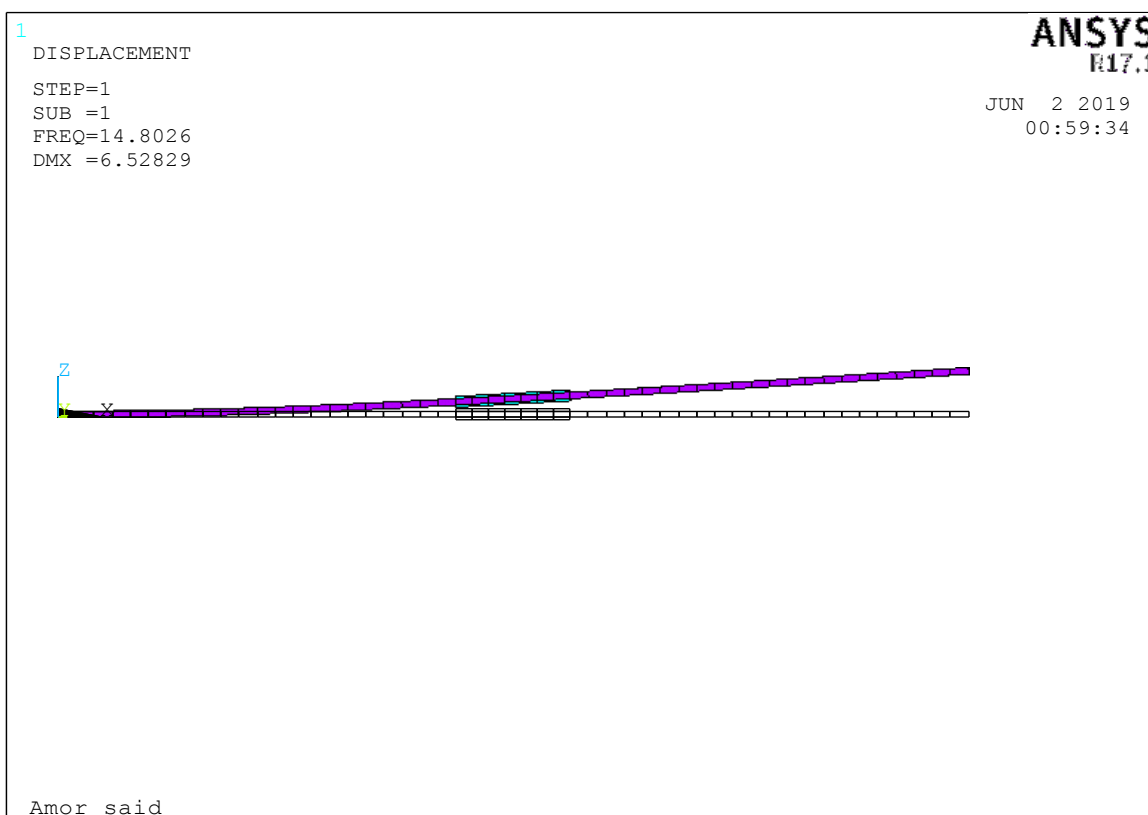
البنية عنصريا



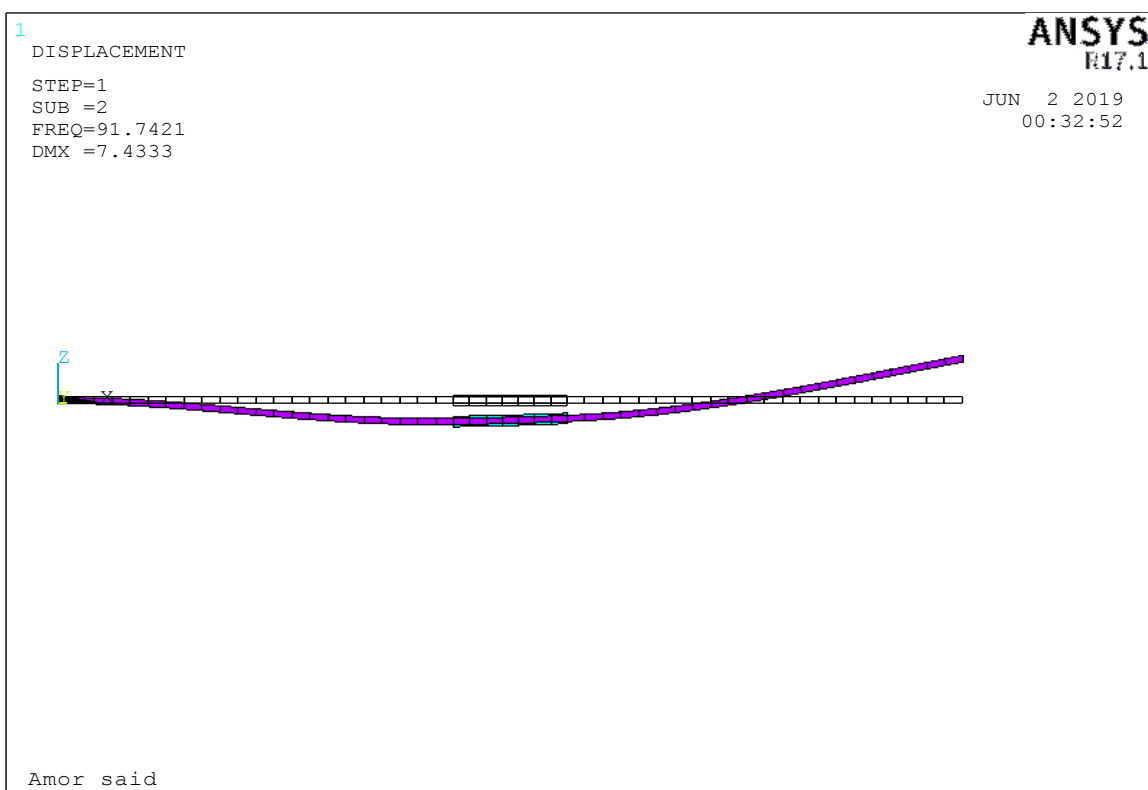
البنية عقديا

شكل (17) : تنشيط الفعل الكهروميكانيكي

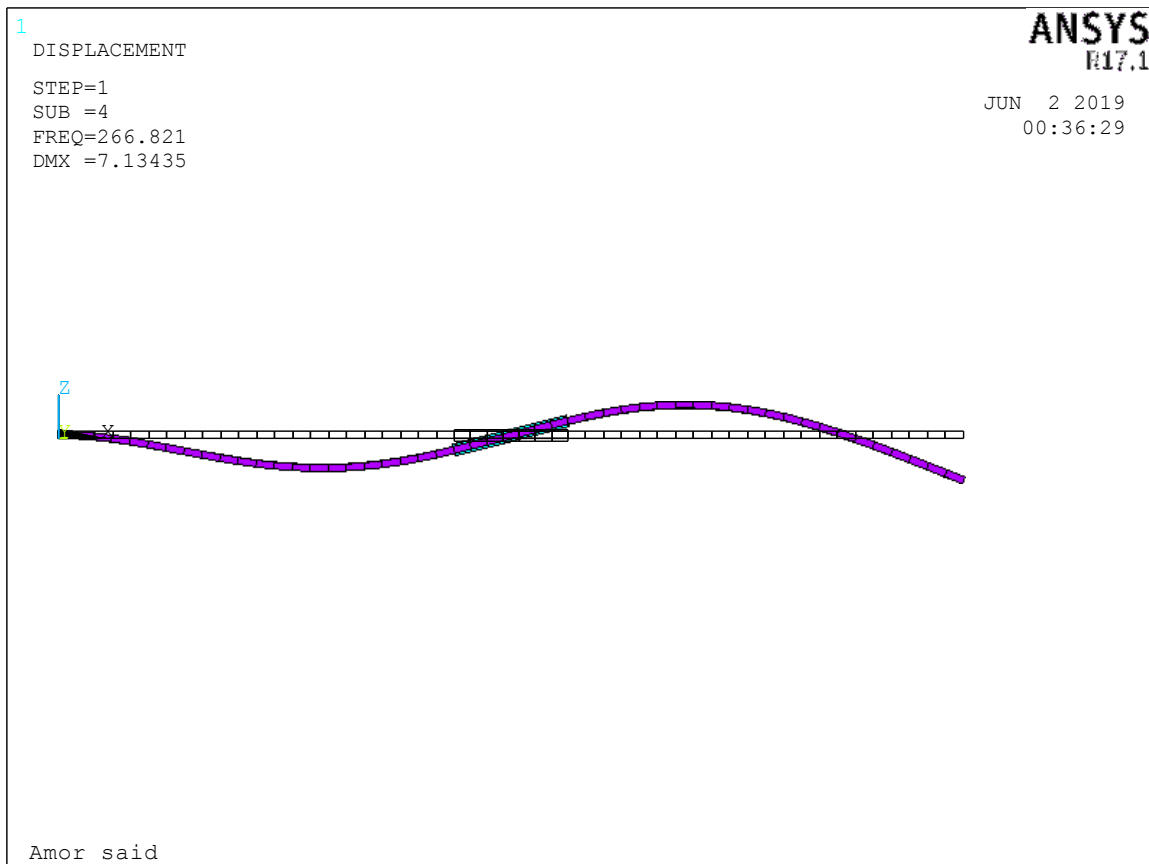
الشكل(18) يمثل مناول الإهتزاز للعارضة بعد تثبيت الرفاقات :



المنوال الأول



المنوال الثاني



### المنوال الثالث

شكل (18): مناول الاهتزاز للعارضه بعد تثبيت الرفاقات

وفي الجدول التالي نلخص قيم ترددات العارضة الأساس و بعد تثبيت الرفاقات.

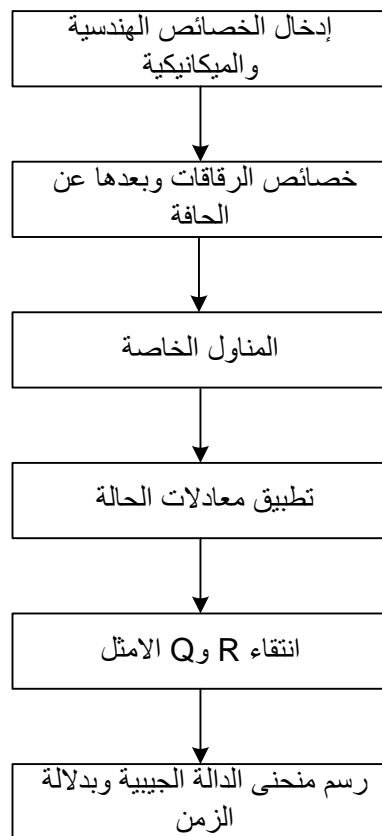
الوضع	$X_i^2$	نظريا (Hz) $f_i$	عدديا (Hz) $f_i$	بعد تثبيت الرفاقات $f_i$
1	3,516	15,553	15,641	14,802
2	22,03	97,452	98,078	91,742
3	61,69	272,889	275,146	266,821

جدول (4): مقارنة قيم ترددات العارضة الأساس والعارضه الذكية

نلاحظ أن القيم متقاربة وهذا لأن حساب الترددات الطبيعية (الخاصة) متعلق بمصفوفة الكتلة والصلابة التي يحدث لها تغير طفيف عند إضافة الرفاقات الكهروإجهادية.

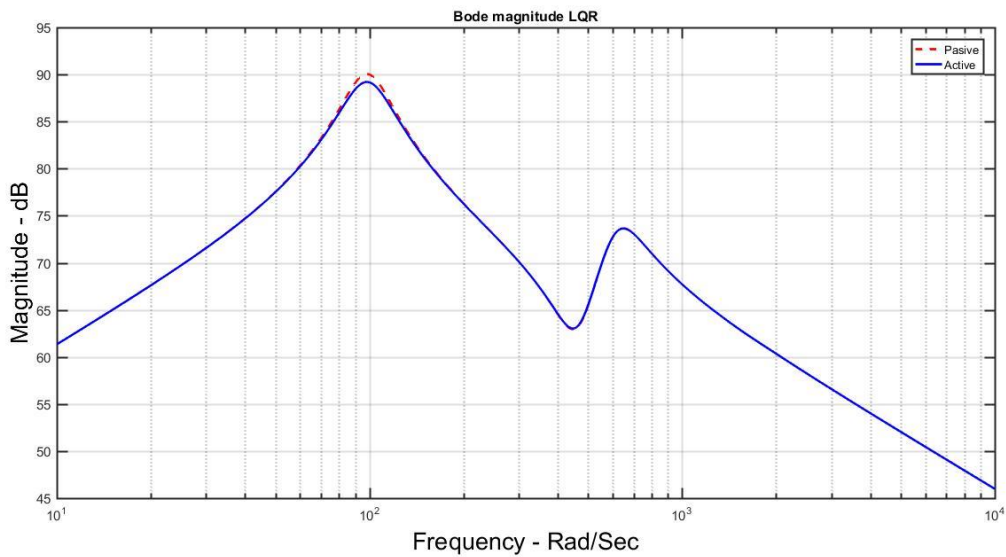
### 3. تفعيل المنظم الخطى التربيعي (LQR) الموجود في برنامج MATLAB

حسب الفرع الاخير في الفصل الثاني نقوم بتطبيق محاكاة للتحكم التربيعي الخطى وفق المراحل التالية :

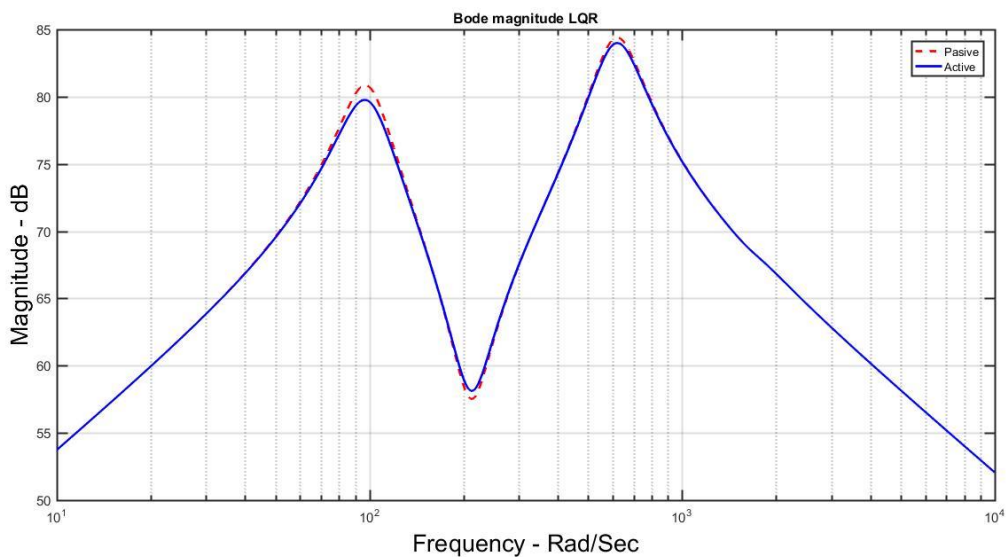


يوضح الشكل (19) إستجابة العارضة الذكية في الحالتين النشطة وال الخمالة بعد محاولات اختيار  $Q$  و  $R$ :  
ففي كل حالة نغير المعامل المضروب في المصفوفة  $A$  و  $B$  حيث:

$$A = \begin{bmatrix} 1 & 0 & 0 & 0 & 0 & 0 \\ 0 & 1 & 0 & 0 & 0 & 0 \\ 0 & 0 & 1 & 0 & 0 & 0 \\ 0 & 0 & 0 & 1 & 0 & 0 \\ 0 & 0 & 0 & 0 & 1 & 0 \\ 0 & 0 & 0 & 0 & 0 & 1 \end{bmatrix}; B = \begin{bmatrix} 1 & 0 \\ 0 & 1 \end{bmatrix}$$

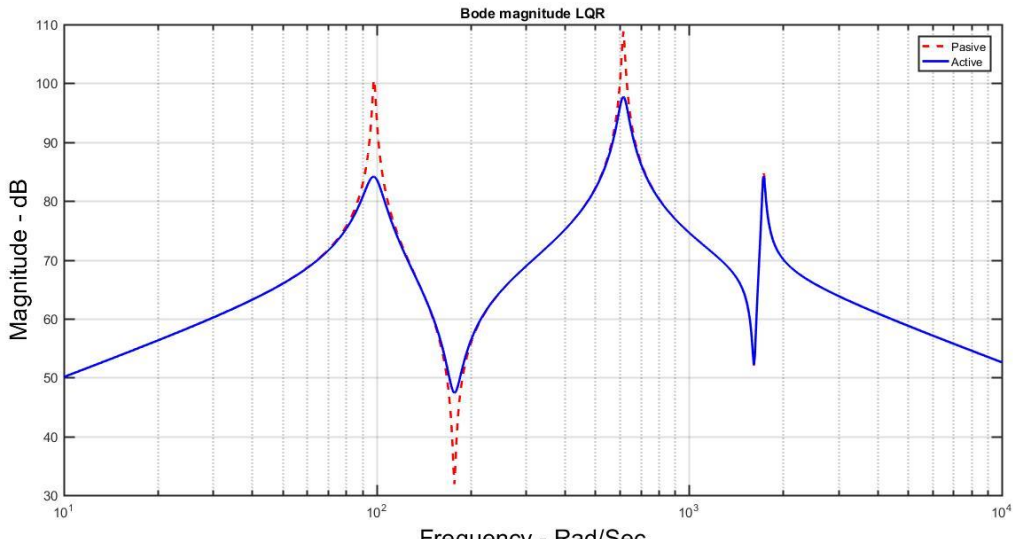


$$Q=10.A ; R=20.B$$

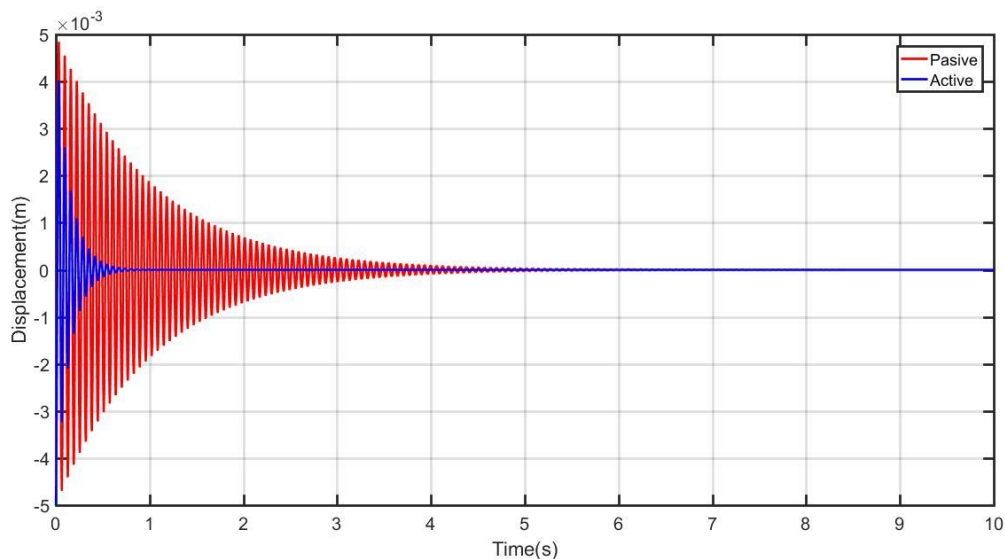


$$Q=10.A ; R=30.B$$

$Q$  و  $R$  غير مناسبين : ( -19)



$$Q=20.A ; R=20.B$$



بدلة الزمن

Q-19(ب) و R مناسبين

شكل (19) إستجابة العارضة الذكية في الحالتين النشطة والخاملة

## خلاصة

بعد هذه الدراسة نستخلص أن طريقة العناصر المتناهية مهمة جداً في المذكرة و على أساسها انشأت برامج المحاكاة على غرار ANSYS مثل.

ونستنتج أن التحكم النشط للاهتزازات (المنظم التربيعي الخطى) يتسبب في عدم استقرار اجوبة الجملة وذلك بحسب قيم معاملات التحكم  $Q$  و  $R$  التي تتطلب جهد كبير لحصرها عند محاكاة التحكم حيث نلاحظ انخفاض في القيم الحدية للدلالة الجيبية لاستجابة العارضة بدلاً من التردد وهذا حتى لا يتوافق الإضطراب الخارجي مع التردد الخاص للمنظومة المدروسة كي لا يحدث الانهيار.

# قائمة المراجع

- [1]. Marcelo Areias Trindade. Contrôle hybride actif-passif des vibrations de structures par des matériaux piézoélectriques et viscoélastiques: poutres sandwich/multicouches intelligentes. Thèse de Doctorat. Conservatoire national des arts et métiers - CNAM, 2000. Français.
- [2]. Valérie Pommier<sup>1</sup> - Marc Budinger<sup>2</sup> - Bernard Mouton<sup>3</sup> - Sylvaine Leleu<sup>4</sup>. Contrôle actif de vibrations. CETSIS'2005, Nancy, 25-27 octobre 2005.
- [3]. Stéphanie Harari. Contrôle modal semi-actif et actif à faible consommation énergétique par composants piézoélectriques. Thèse de Doctorat, INSA de Lyon, 2009. Français.
- [4]. Karine CHASTAING .Etude d'alliages à mémoire de forme base Ru pour applications hautes températures. Thèse de Doctorat de l'Université Pierre et Marie Curie (Paris 6) Soutenue le 28/09/2007.
- [5]. Baptiste CHOMETTE. Contrôles modaux actif, semi-adaptatif et semi-actif de structures intelligentes embarquées Application aux cartes électroniques. Thèse de Doctorat, INSA de Lyon, 2008.
- [6]. M.N. AMRANE. Cours "finite element analysis" \_University of Biskra. (2018-2019).
- [7]. I. Bruant, L. Prostier, Optimal location of an actuators and sensors in active vibration control, Journal of Intelligent Material Systems and Structures 16 (2005) 197–206, 2005.